Operowanie cząstkami pola torsyjnego

Diana Wojtkowiak

2025

Pole torsyjne

torsion field,
торсионное поле

Występuje pod wieloma różnymi nazwami:

- pole torsyjne - A. E. Akimov (А. Е. Акимов), G. Shipov
- **axion field**,
- **microleptons** - A. F. Ochatrin,
- **chronal field** - A..I.Veinik (А. И. Вейник),
- animal magnetism - Franz Messmer,
- **orgon** - Reich,
- odic energy - Carl von Reichenbach,
- eloptic energy - Galen Hieronymus,
- **mitogenetic rays** - A.G.Gurvich (А. Г. Гурвич),
- Z-emanation - A.L.Chizhevsky, (А. Чижевский)
- **morfogenetic field** - R. Sheldrake,
- **time emanation** - N.A.Kozyrev (Н. А. Козырев).
- **electrogravitation** - T.T. Brown,
- biofield - Yu.V.Tszyan Kanchzhen, Ю.В.Цзян Каньчжэн)
- free energy - D. A. Kelly
- tachyon field - Gerald Feinberg
- X-agent - H.Moriyama
- **radiesthestetic** emanation
- shape power,
- pseudomagnetism
- **fifth force**,
- antigravitation,
- znaczna część fenomenologii Tesli.

Wszystko to jednak to samo...

Pola Torsyjne/
cząstki pola torsyjnego

Torsion field particle - DW
Chronone - Albert Veinik (Вейник, Альберт Иозефович)
Microleptones - Anatolij Ochatrin (Анатолий Фёдорович Охатрин)
Torsion - Gienadij Shipov (Геннадий Иванович Шипов)
Inerton - Volodymyr Krasnoholovets

Odniesienie do pól elektromagnetycznych

Pola torsyjne i cząstki pola torsyjnego **nie mają nic wspólnego z polem elektromagnetycznym**. **Pole elektromagnetyczne to ubogi krewny** w stosunku do pola torsyjnego, które po prostu zachwyca swoimi możliwościami. Więcej, wiele zjawisk przypisywanych polu elektrycznemu to w istocie zjawiska oparte na polach torsyjnych, np nieenergetyczne zjawiska optyczne fotonów i elektronów.

Rezonans brył geometrycznych

Uszatki

JW 39 900mln I. św., kopiowanie ½, p+ Ag 37°

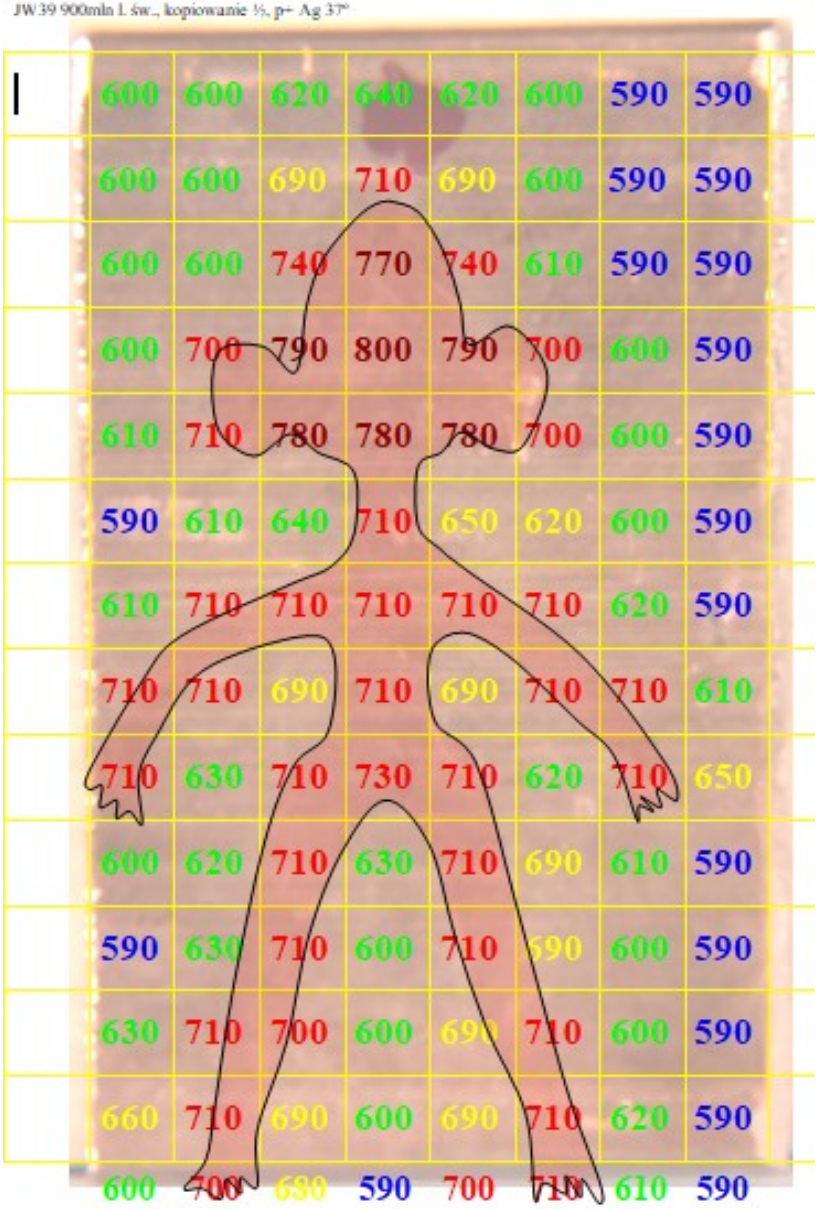

600	600	620	640	620	600	590	590
600	600	690	710	690	600	590	590
600	600	740	770	740	610	590	590
600	700	790	800	790	700	600	590
610	710	780	780	780	700	600	590
590	610	640	710	650	620	600	590
610	710	710	710	710	710	620	590
710	710	690	710	690	710	710	610
710	630	710	730	710	620	710	650
600	620	710	630	710	690	610	590
590	630	710	600	710	690	600	590
630	710	700	600	690	710	600	590
660	710	690	600	690	710	620	590
600	700	680	590	700	710	610	590

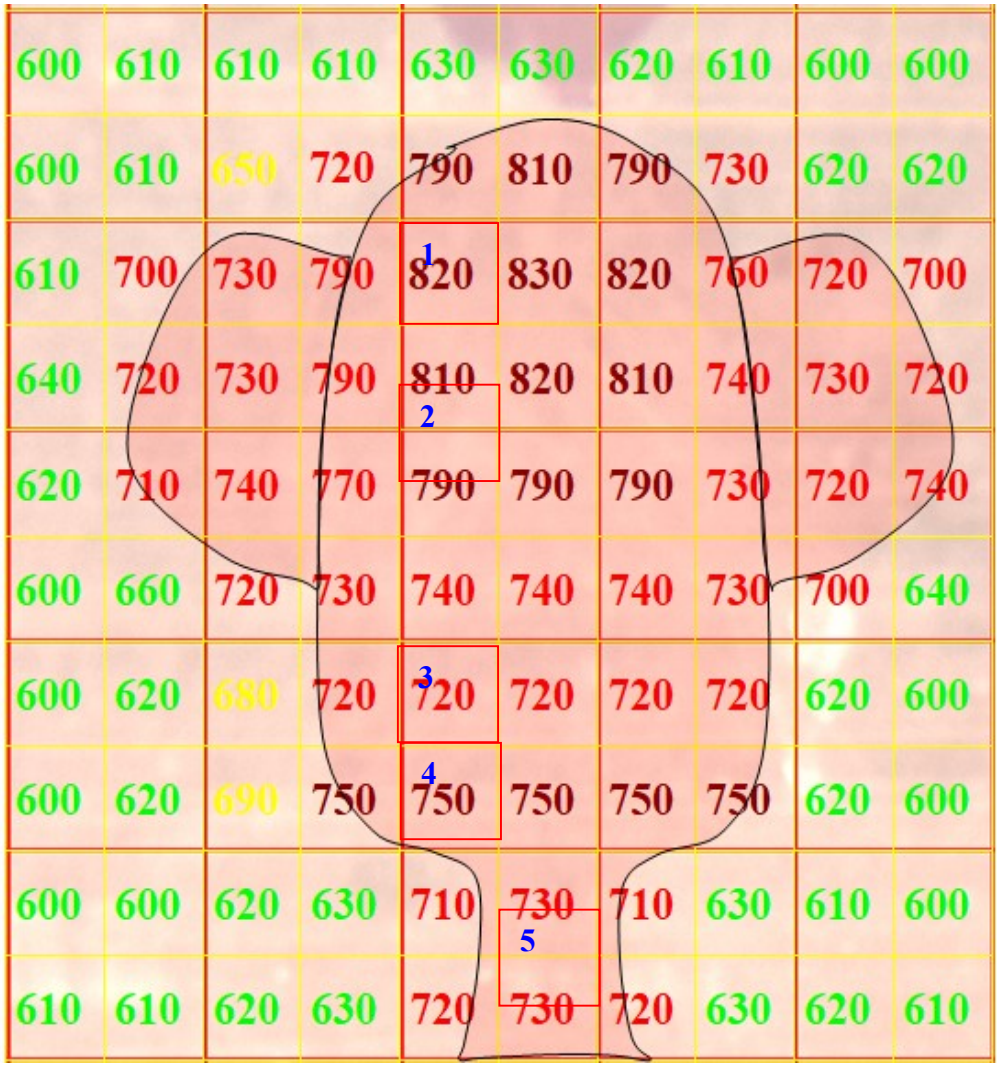

600	610	610	610	630	630	620	610	600	600
600	610	650	720	790	810	790	730	620	620
610	700	730	790	820	830	820	760	720	700
640	720	730	790	810	820	810	740	730	720
620	710	740	770	790	790	790	730	720	740
600	660	720	730	740	740	740	730	700	640
600	620	680	720	720	720	720	720	620	600
600	620	690	750	750	750	750	750	620	600
600	600	620	630	710	730	710	630	610	600
610	610	620	630	720	730	720	630	620	610

Pomiar szybkości cząstek pola torsyjnego
- selektor prędkości

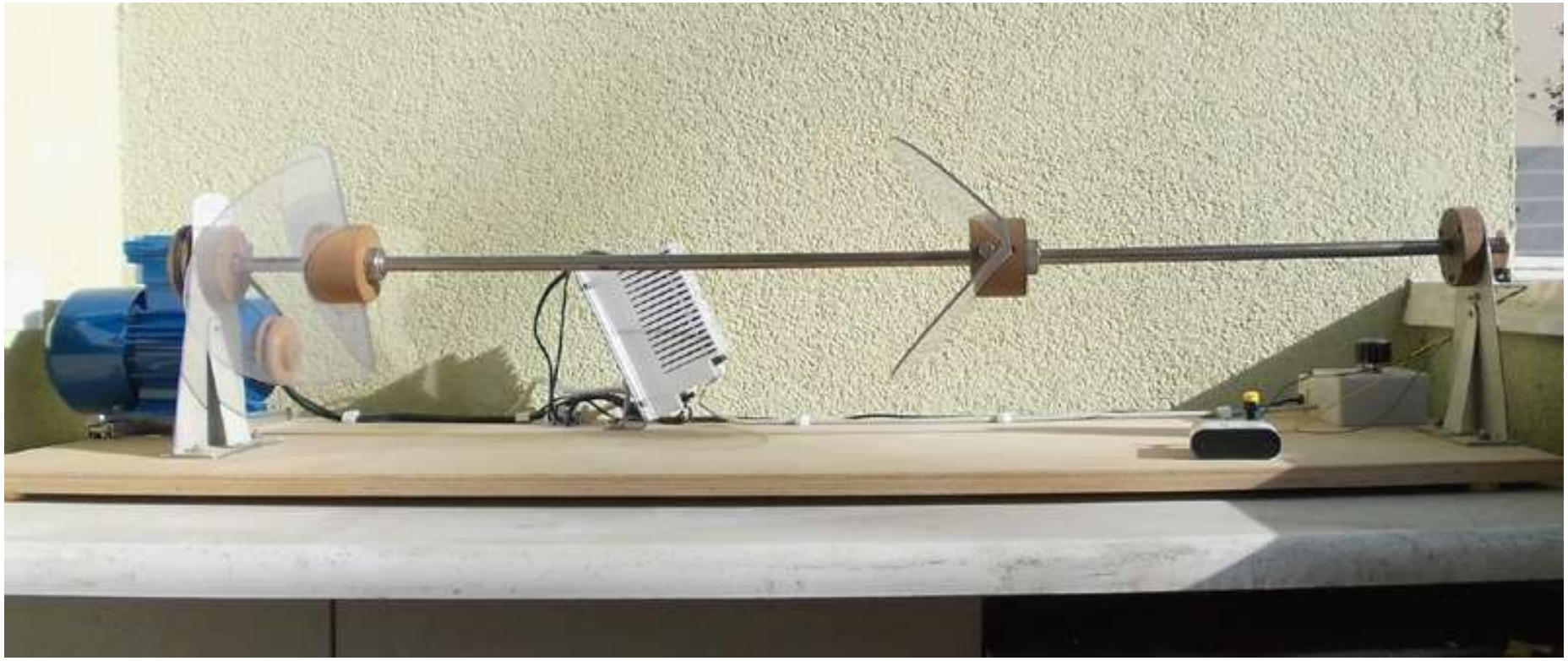

Pomiar szybkości cząstek pola torsyjnego z miejsca 4xK1

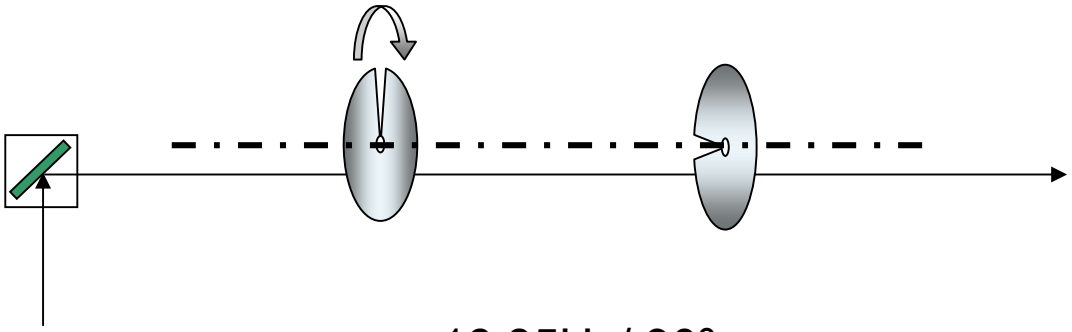

16,85Hz/ 90º

l=0,5m

t = 0,0592 x 0,25 = 0,0148s

v = 33,8 m/s

λ = 6,2mm → f = 5500 Hz

Szybkość cząstek pola torsyjnego w powietrzu

Pomiar szybkości cząstek pola torsyjnego przyspieszanych z preparatu homeopatycznego Sulphur

Rurka 32mm/15mm - kopia SC11 K5 **64ms**, 176V
Wzorzec w buteleczce 10ml - **SC2** - czterokrotnie osłabiony preparat SC5 K11 (zasięg K11 55cm).

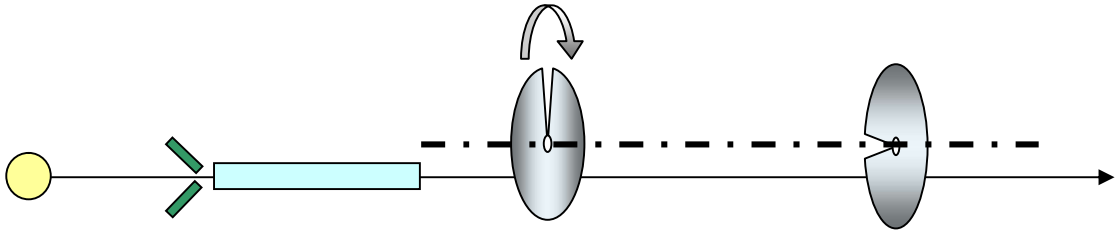

Rurka kopiowana 64ms, wzorzec SC2

7,0-8,4Hz / 0,05

śr. 7,67 l=0,4m

v = l/t = 0,4/0,0065 = **61m/s**

λ = 11,2mm → f = 5400 Hz

Szybkość cząstek pola torsyjnego w miedzi

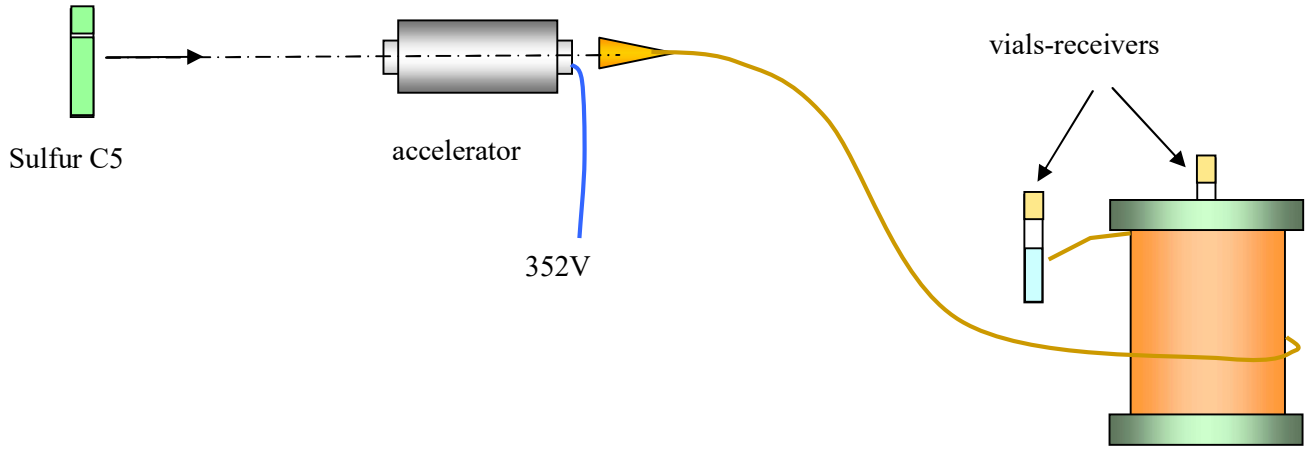

Na szpuli znajdowało się około 500m drutu nawojowego φ1,2. Drut został wyposażony w stożkowy lejek φ10 z folii miedzianej 0,2mm, długości 25mm, przylutowany do płasko zakończonej końcówki drutu i polakierowany. Źródłem pola torsyjnego był lek homeopatyczny Sulfur CH5 firmy Boiron (Kategoria K11). Akcelerator przyspieszający emitowane z leku homeopatycznego cząstki pola torsyjnego z czterema sekcjami elektrod został umieszczony wewnątrz pakietu złożonego z 10 magnesów toroidalnych z ferrytobaru. Dla wprowadzenia użytecznego sygnału do drutu wystarczające było przyłożenie do akceleratora impulsu o czasie trwania kilkudziesięciu milisekund, przy napięciu kilkudziesięciu do kilkuset wolt.

falowód - całkowite zewnętrzne odbicie

Czas przelotu

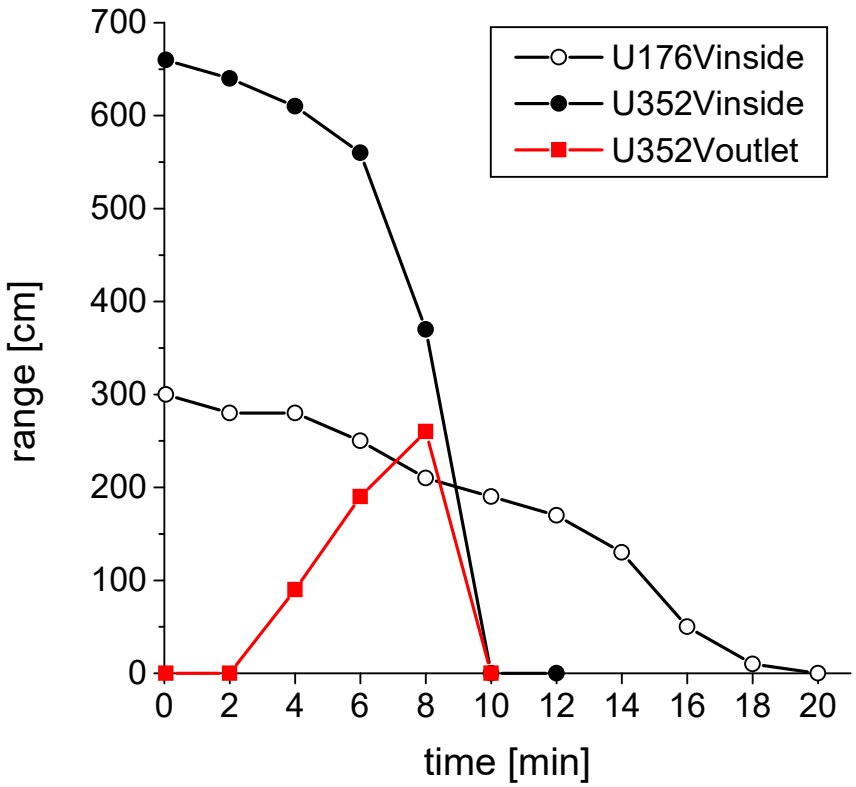

Wykres ilustrujący przemieszczanie się cząstek pola torsyjnego wzdłuż drutu nawojowego, stanowiącego dla tych cząstek falowód. Czarne pełne kółka - sygnał wewnątrz szpuli przy przyspieszeniu cząstek pola torsyjnego pochodzących z preparatu homeopatycznego napięciem 352V (K10). Czarne puste kółka - to samo, ale przy napięciu 176V. Czerwone kwadraty - zmiana zasięgu promieniowania K11 z fiolek umieszczanych na wylocie drutu.

Korea 3.09.2017

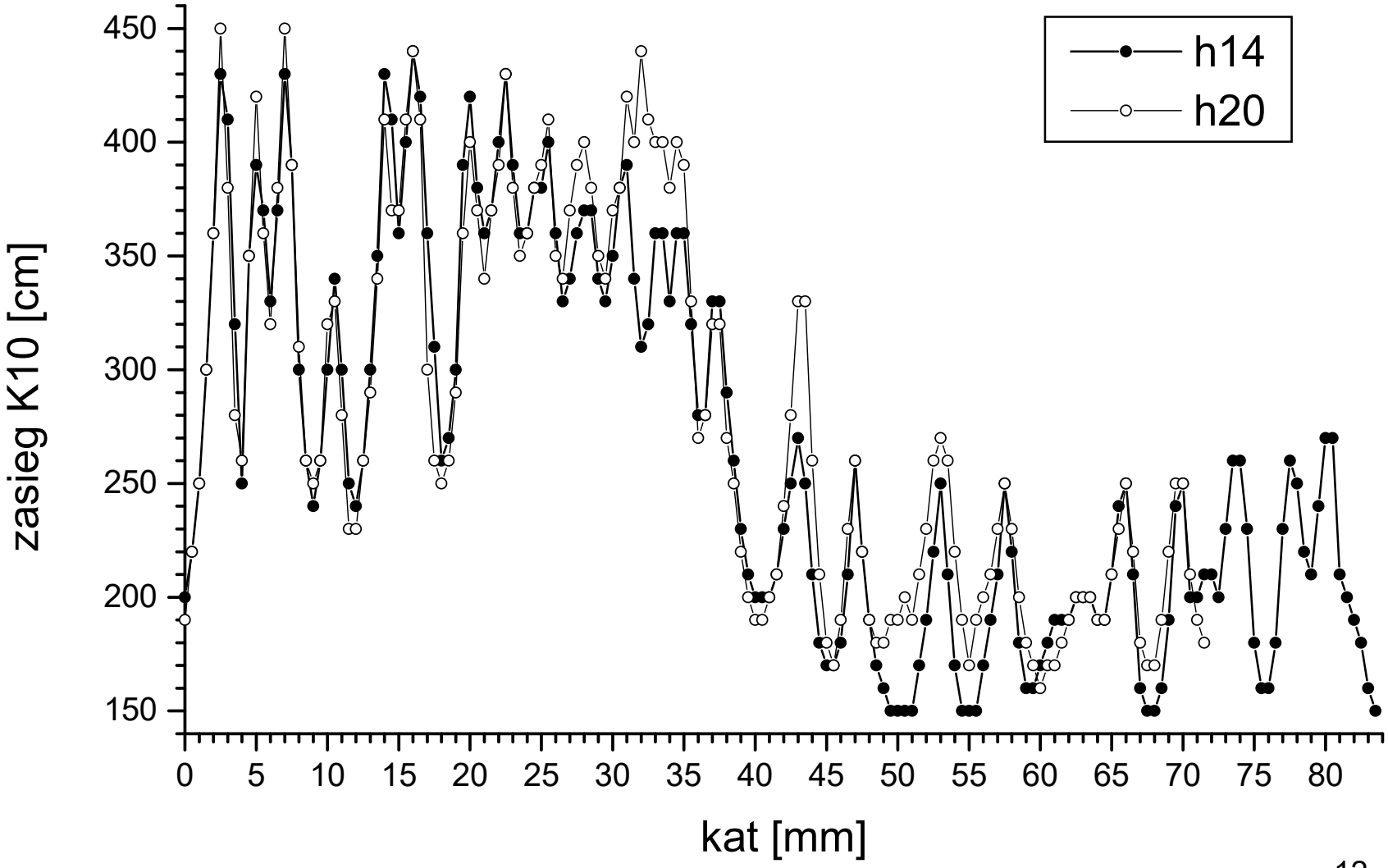

Korea

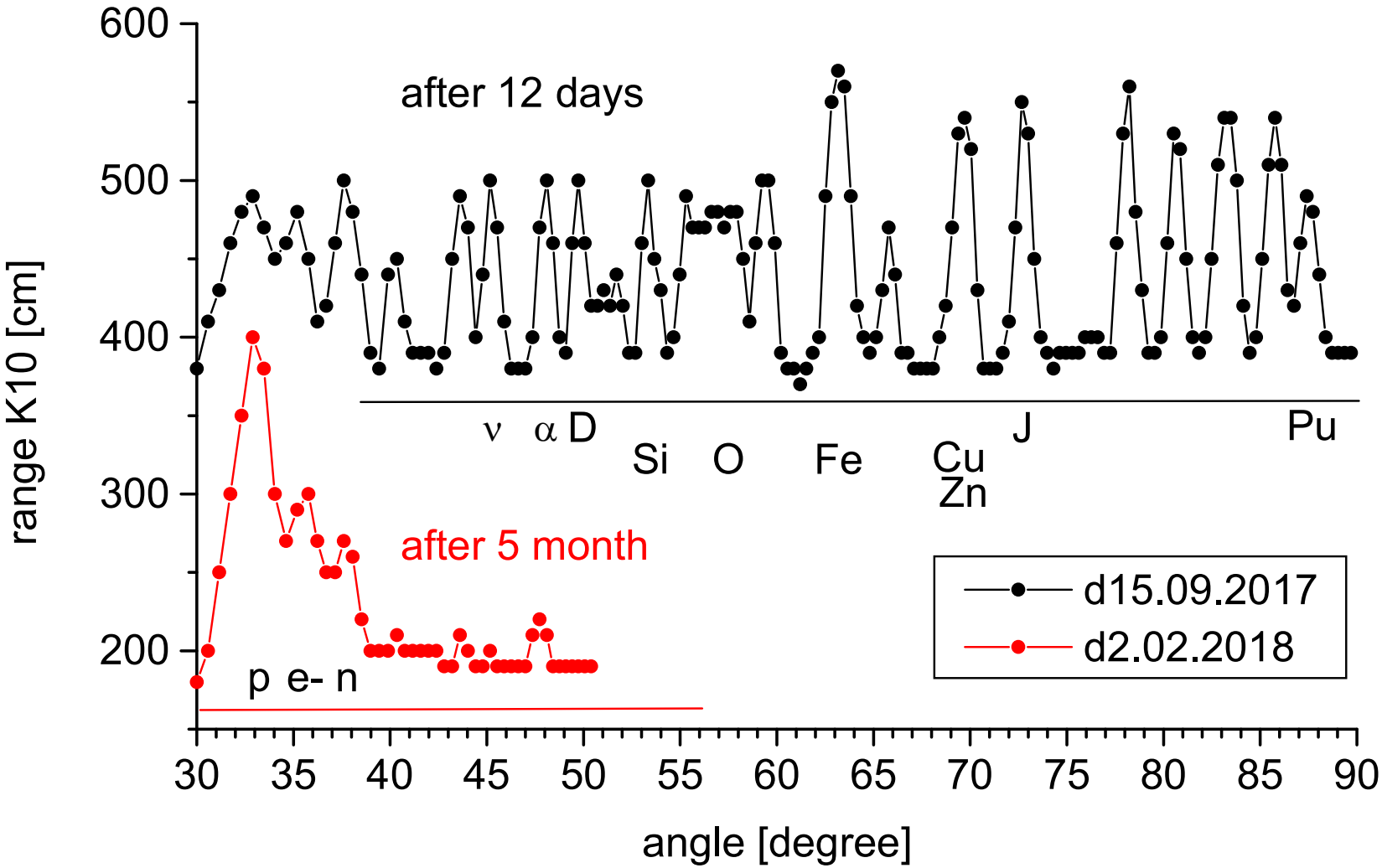
600
500
400
300
200
range K10 [cm]
after 12 days
after 5 month
ν
α D
Si
O
Fe
Cu
Zn
J
Pu
p e- n
d15.09.2017
d2.02.2018
30
35
40
45
50
55
60
65
70
75
80
85
90
angle [degree]

Użyliśmy standardowego akceleratora stosowanego przez nas do uzyskiwania sygnał ze Słońca i planet z ośmioma sekcjami elektrod powodującymi ruch helikalny cżastek pola torsyjnego i zasilanego napięciem 45V. Sygnał ze Słońca był przenoszony do fiolki zawierającej 9ml wody w kolejno w trzech konfiguracjach. 1. stadartowo bez żadnej filtracji wiązki dochodzącej ze Słońca; 2. przez szybkę szklaną wymiarach 80 x 80 x 2 ustawioną pod kątem 45º powodującą usunięcie cząstek pola torsyjnego z wiązki przez całkowite zewnętrzna odbicie; 3 - przez lusterko o wymiarach 30x30 na wejściu akceleratora powodujące usunięcie fotonów z wiązki. Czas ekspozycji 2s. Doświadzcenie było przeprowadzone 2 lutego 2015r. o godzinie 13.00, kiedy dominował sygnał Kategori K11 (Słońce w Wodniku) Wynik doświadczenia w postaci spektrum Kategorii przedstawiony został na rys. 1. Sygnał przeszedł nie zminiony przez ukośną szybkę, a został zatrzymany przez lusterko. Oznacza to, że prawie w całości pochodził od fotonów, a dokładniej od cząstek pola torsyjnego przenoszonych fotonami.

Podróże cząstek pola torsyjnego na fotonach.

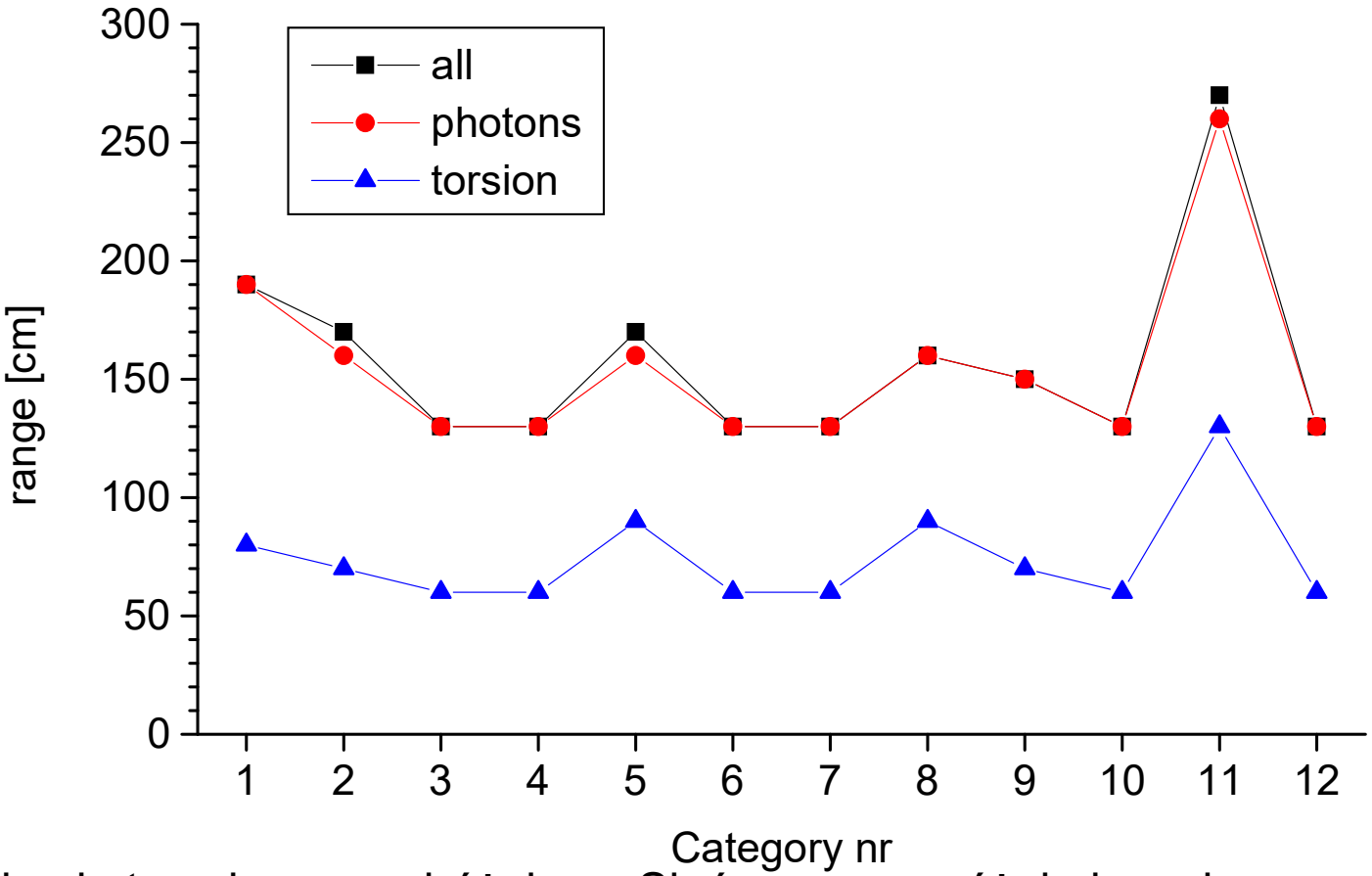

Cząstki pola torsyjnego podróżują ze Słońca przez próżnię kosmiczną na fotonach światła słonecznego. Krzywa oznaczona czarnymi kwadratami - pełny sygnał ze Słońca; czerwone kółka przepuszczone do akceleratora zostały fotony; niebieskie trójkąty przepuszczone zostały wolne cząstki pola torsyjnego - sygnał znacznie osłabiony. Oś odciętych - numer Kategorii, oś rzędnych - zasięg promieniowania Kategorii z próbek 9 ml.

Zapora fotonowa

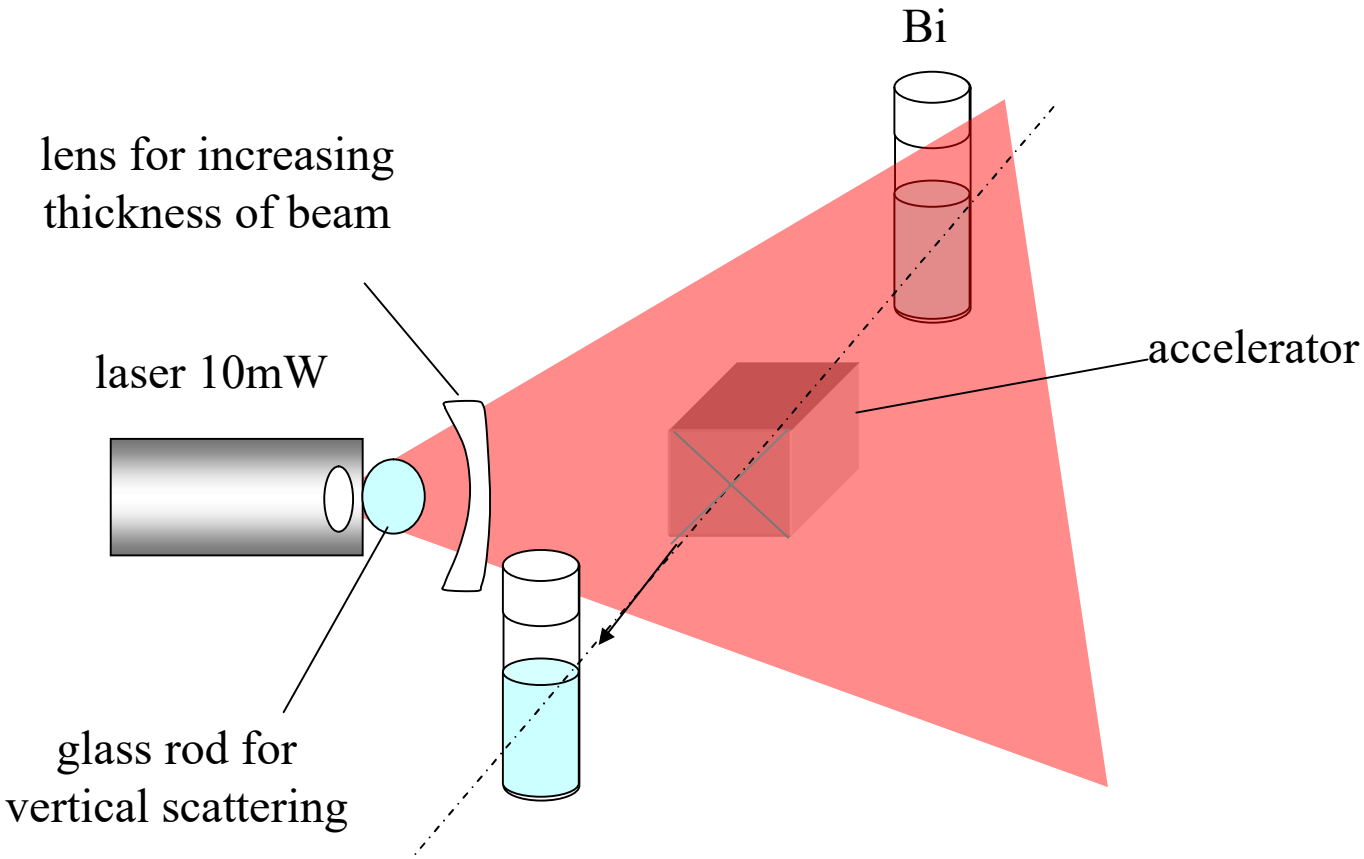

Podróże cząstek pola torsyjnego na fotonach.

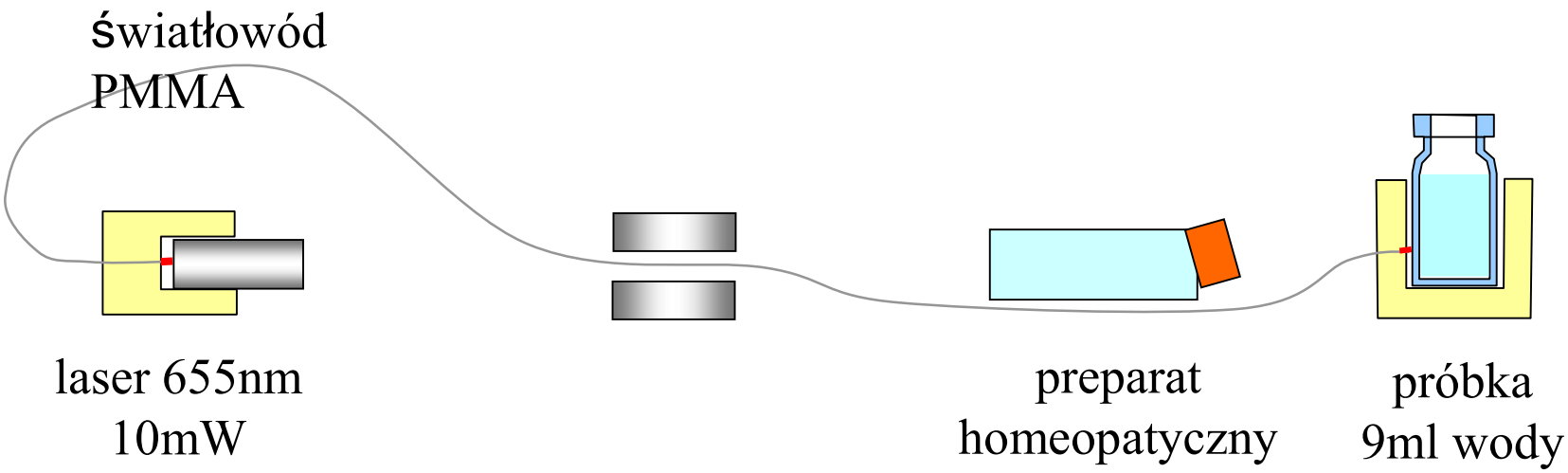

Długość fali cząstek pola torsyjnego

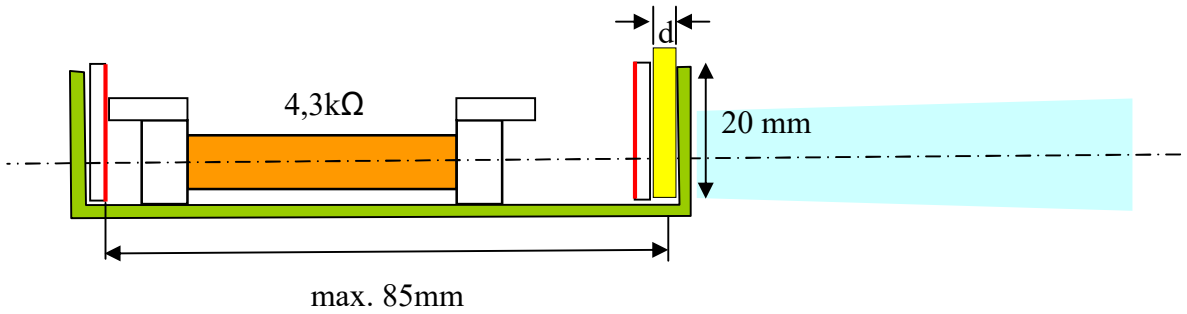

Wstępny pomiar długości fali 53,5Hz, 1mV, Ag
- średnio długość fali λ = 2,32 mm

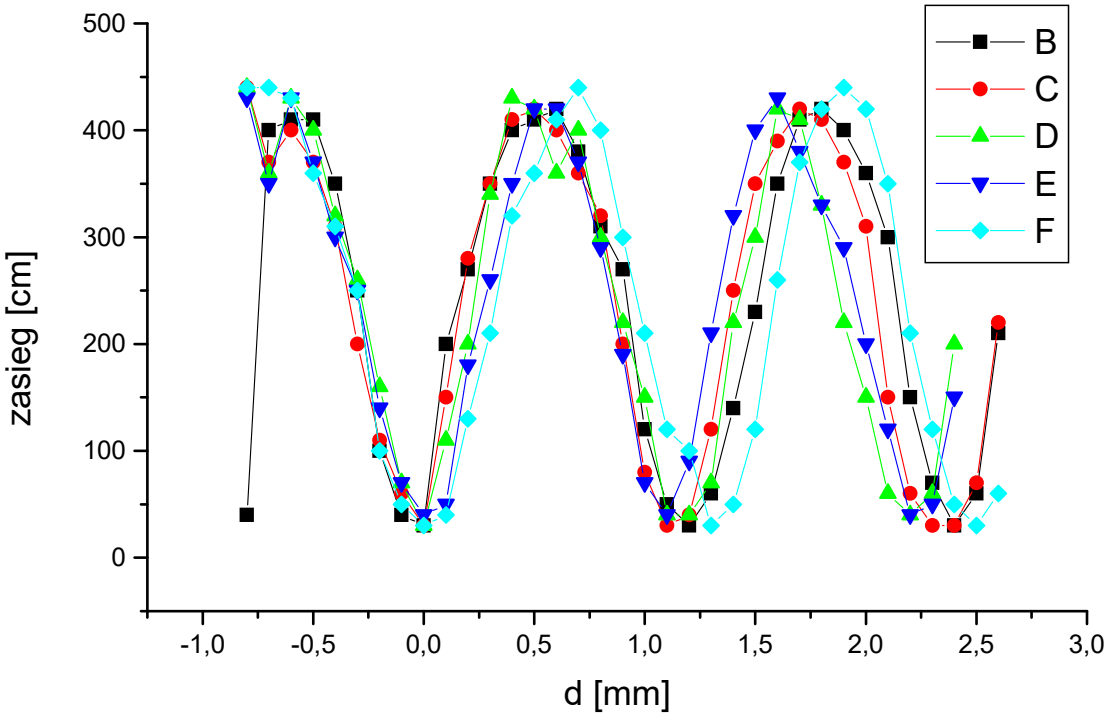

Pomiar długości fali preparatu homeopatycznego Sulfur

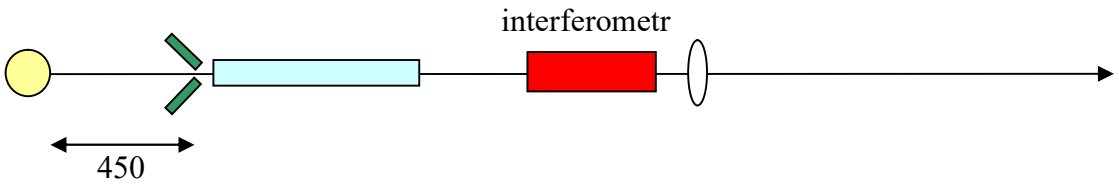

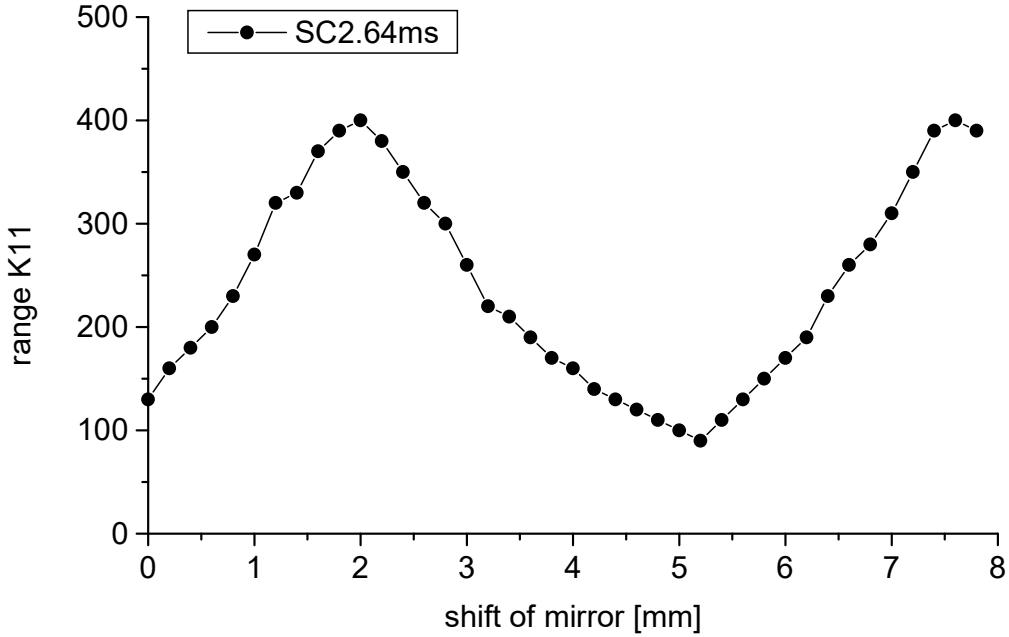

λ = 11,2mm

Częstotliwości cząstek pola torsyjnego

1. $f = v/\lambda$
2. filtracja elektroniczna, np z użyciem equalizera

- zakres częstotliwości akustycznych

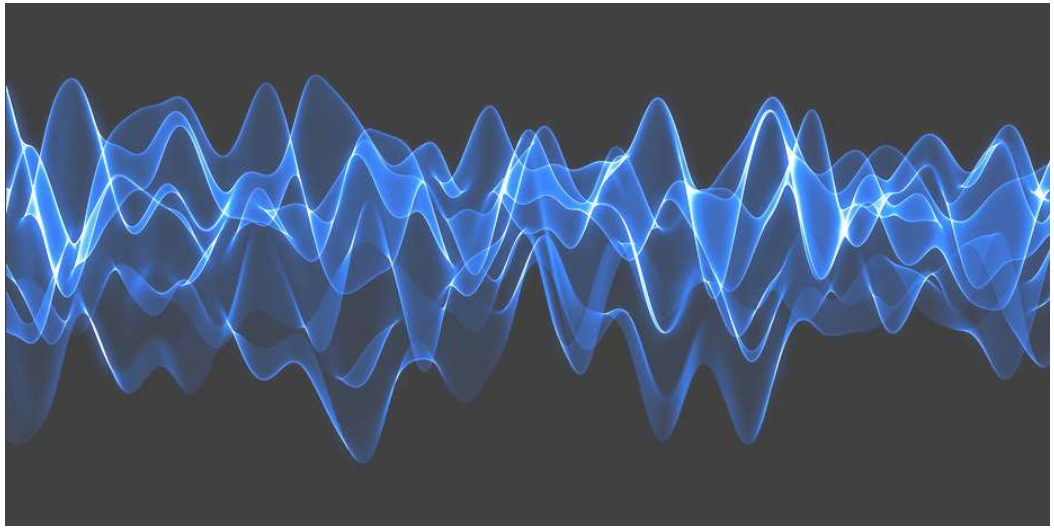

Lewo i prawoskrętność cząstek pola torsyjnego

Pomiar

- odruch typu kinezjologiczny jest specyficzny dla lewoskrętnej polaryzacji cząstek pola torsyjnego.
- L-phenylalanine wiąże cząstki o polaryzacji lewoskrętnej, D-phenylalanine o polarzacji prawoskrętnej.

Odwrócenie polaryzacji chiralnej: poprzez całkowite zewnętrzne odbicie w zwierciadle, najlepiej miedzianym (gładka blacha miedziana).

Występowanie:

Słońce: znaki zodiaku i biorytmy - polaryzacja lewoskrętna, horoskop chiński - polaryzacja prawoskrętna

Ziemia: siatka etniczna, fraktalna 1-metrowa - polaryzacja lewoskrętna, siatka epok historycznych, siatka hartmana - polaryzacja prawoskrętna

Leki homeopatyczne - polaryzacja lewoskrętna

Polaryzacja liniowa cząstek pola torsyjnego

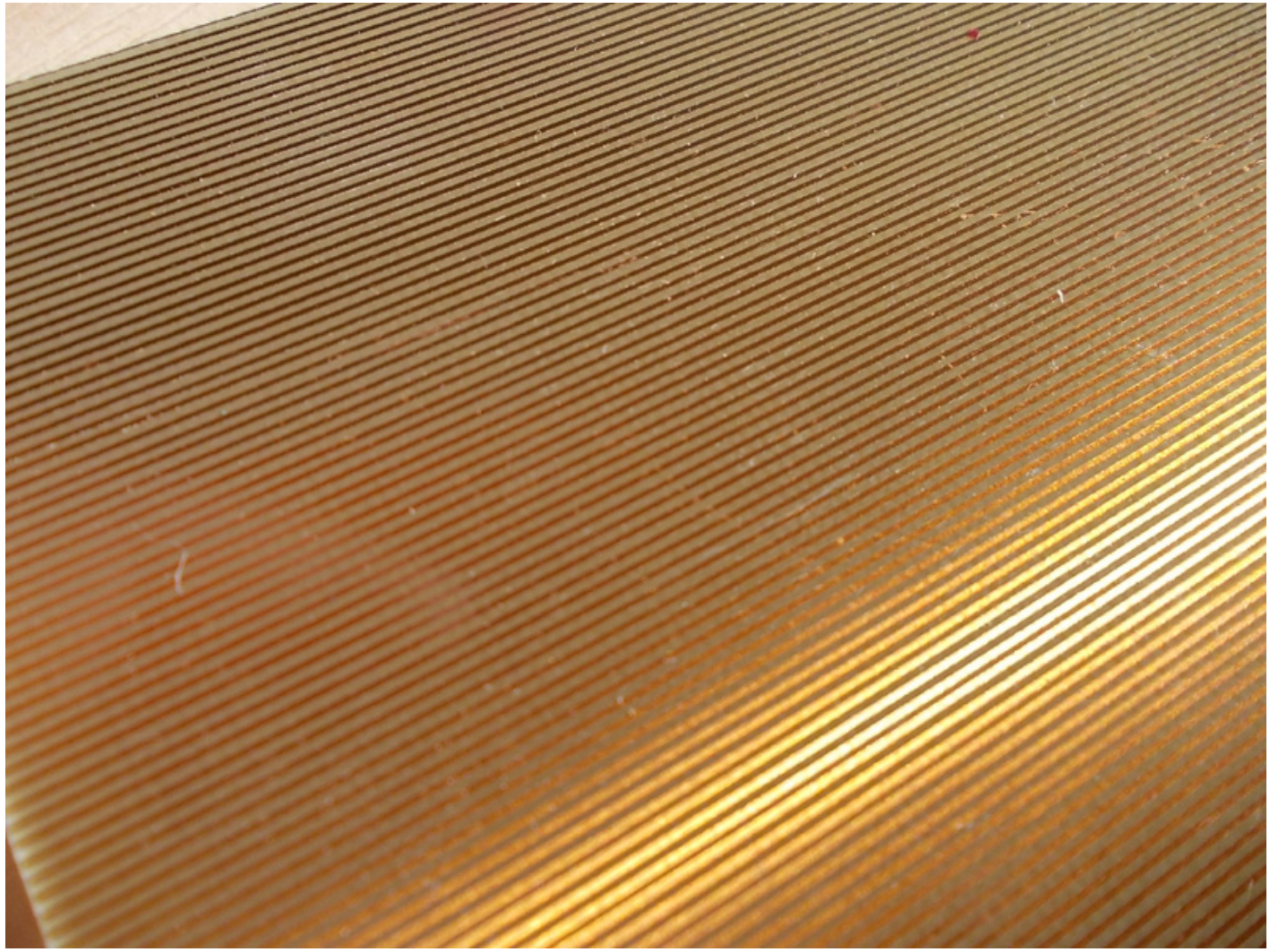

Polaryzator wykonany z płytki do obwodów drukowanych

Przyspieszanie cząstek pola torsyjnego

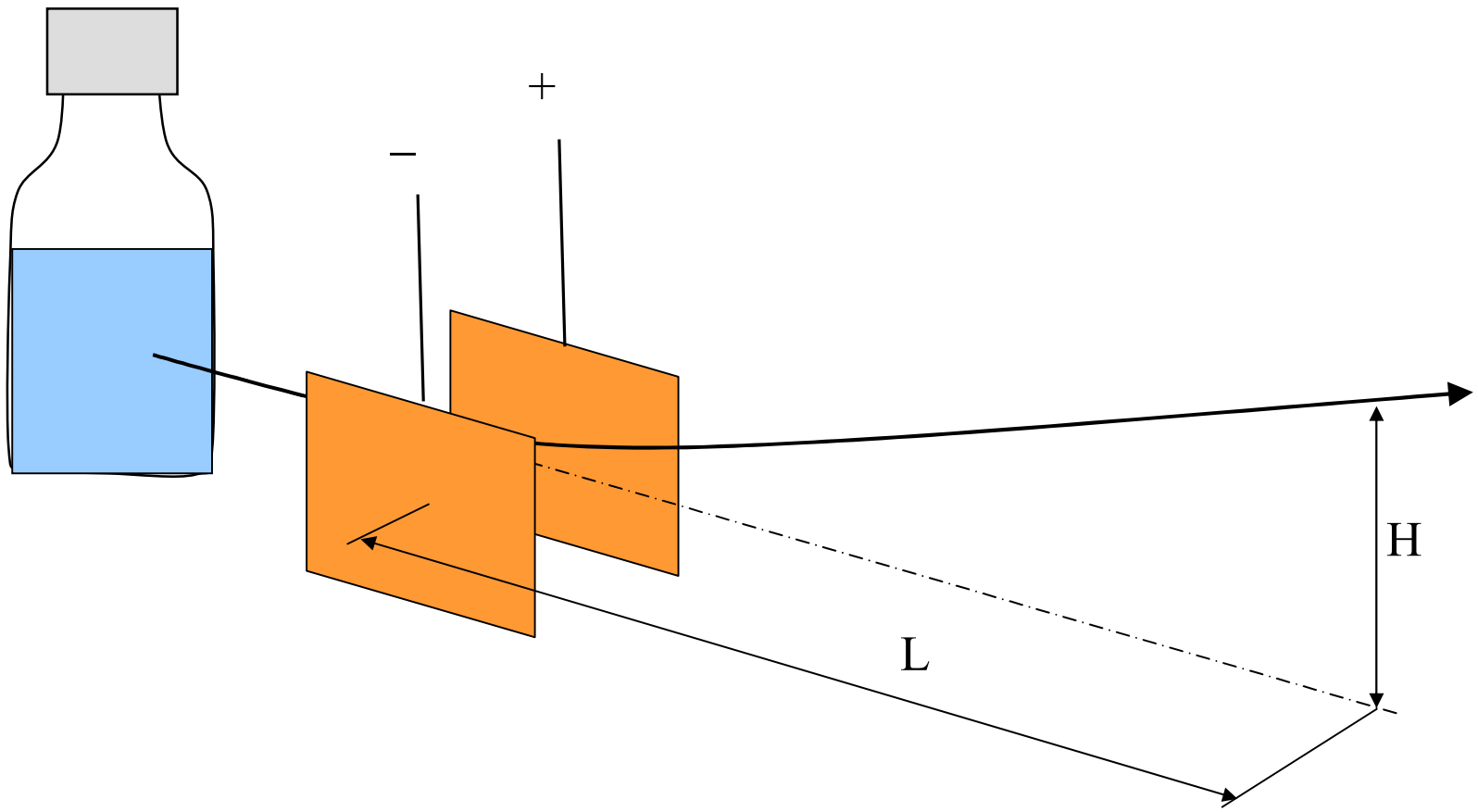

Akceleratory cząstek pola torsyjnego

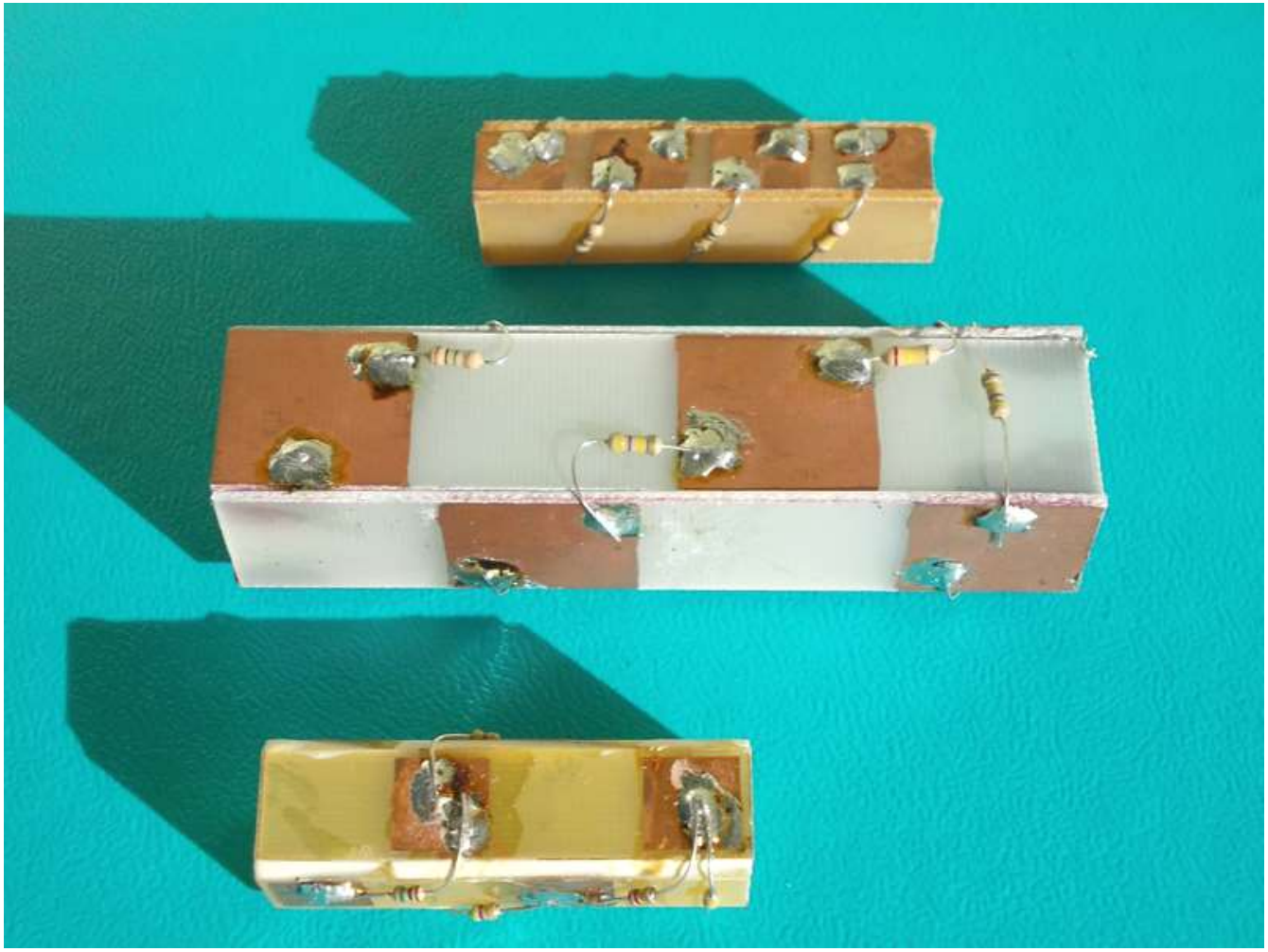

Akcelerator w wirowym polu torsyjnym

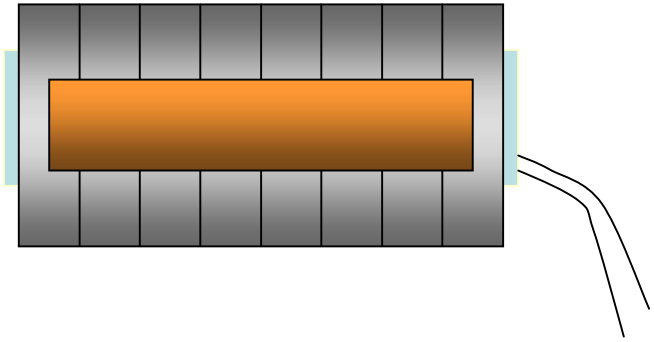

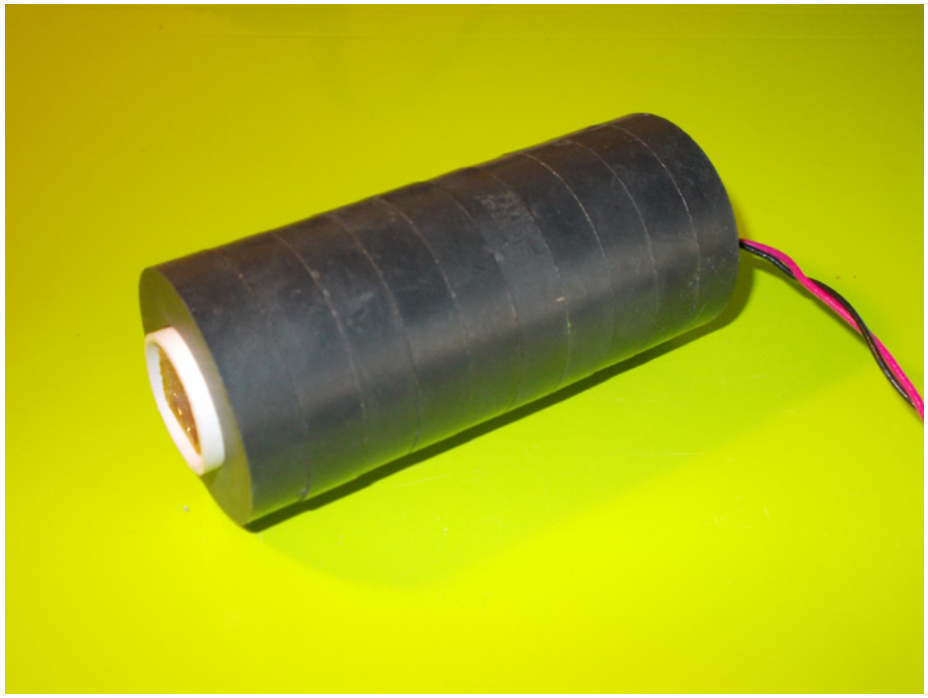

Działanie magnesu

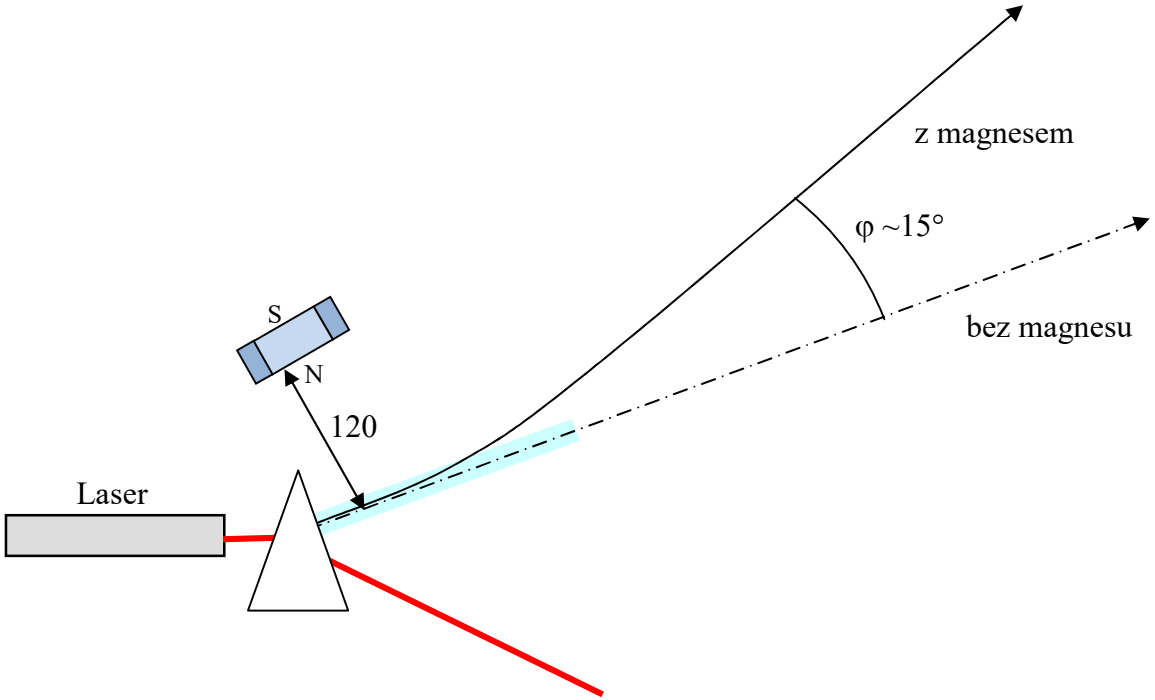

Występuje przyciąganie promienia głównego K10 o ok. 15° przez biegun północny magnesu, a po odwróceniu magnesu odpychanie promienia o tą samą wartość.

Odchylanie wiązki cząstek pola torsyjnego w polu preparatu homeopatycznego koloidu srebra

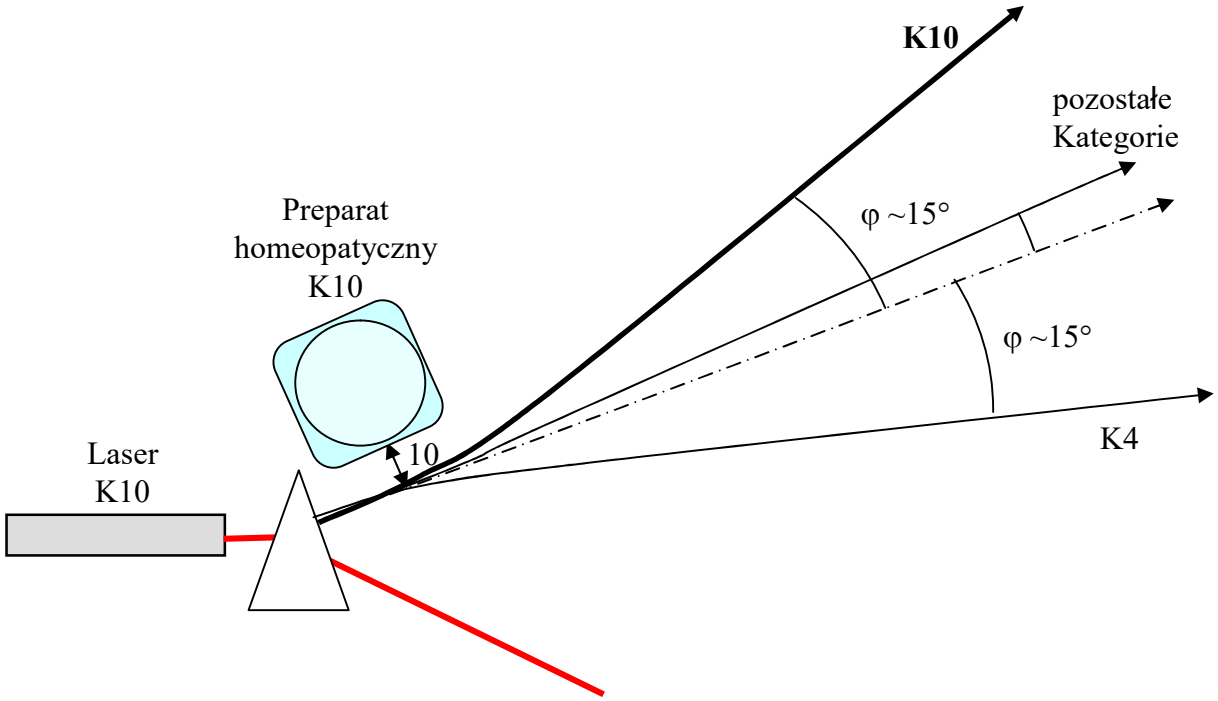

„Głupie” doświadczenie

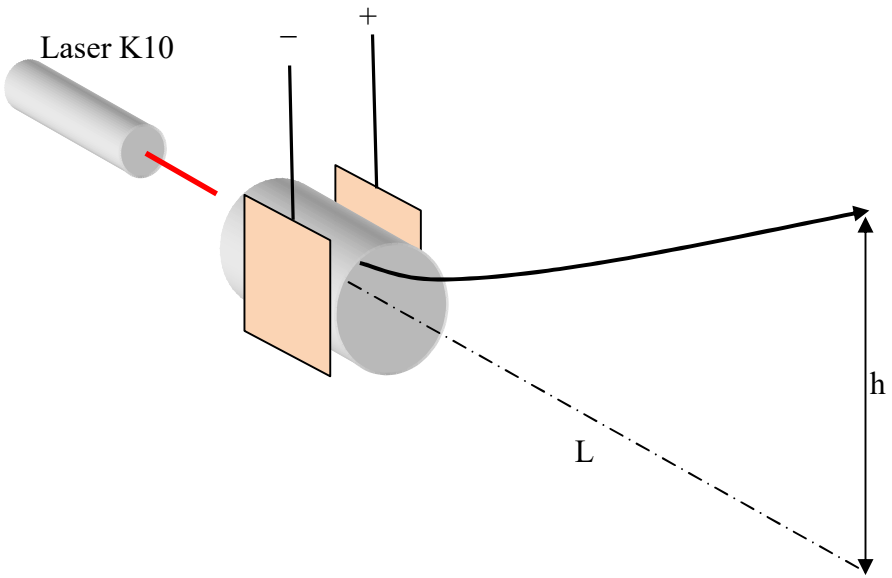

- elektrody pod napięciem 150V - odchylenie ok. 30º (K9, K10)
- elektrody pod napięciem 150V, pomiędzy elektrodami aluminiowa rura - odchylenie ok. 30º (K9, K10) (rura zaczyna przepuszczać promieniowanie od elektrod po ok. 30s.)

Nieprzenoszenie energii

Wstępne nasze doświadczenie dotyczące przenoszenia lub nieprzenoszenia energii przez pole torsyjne wskazywałoby na tę drugą opcję. Podczas gdy elektrony przyspieszane przez różnicę potencjałów w lampie oscyloskopowej podlegają zależności $\mathbf{v \sim \sqrt{U}}$, gdzie v - uzyskiwana szybkość cząstek, a U - przyłożona do elektrod różnica potencjałów, to w odniesieniu do akceleratora pola torsyjnego mamy zależność $\mathbf{v \sim U}$. Występujący w pierwszym przypadku pierwiastek pochodzi ze wzoru na energię $E = mv^2/2$, gdzie pobierana energia zmniejsza efekt nadawania prędkości, co nie występuje w naszym przypadku. Dokładniej wyznaczony przez nas doświadczalnie przybliżony wzór dla akceleratora pola torsyjnego wygląda następująco:

$$v/v0 = \gamma \Phi B U$$

gdzie:

v - uzyskiwana szybkość cząstek eteru/ pola torsyjnego

v0 - szybkość cząstek eteru/ pola torsyjnego na wejściu akceleratora

γ - stała związana z konstrukcją akceleratora

Φ – całkowity strumień pierwotnych pól torsyjnych docierających z zewnątrz

B - osiowa indukcja pola magnetycznego w jakiej znajduje się akcelerator

U - napięcie zasilania akceleratora

Właściwości optyczne cząstek pól torsyjnych

Cząstki pola torsyjnego wykazują praktycznie wszystkie znane zjawiska, w których nie następuje zmiana energii.

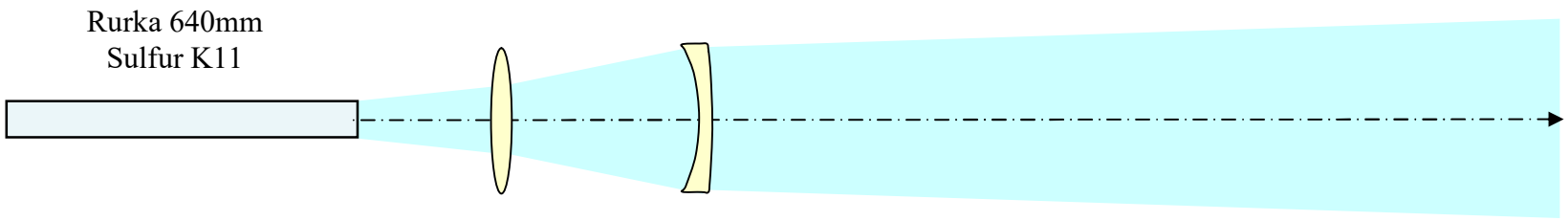

Załamanie wiązki na pryzmacie

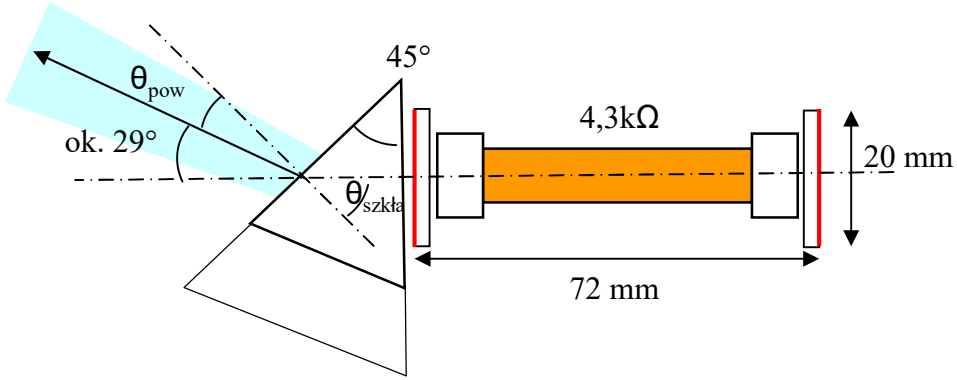

Cewka 3,4kΩ w układzieinterferometru ustawionego w przybliżeniu w pozycji maksimum zasięgu, napięcie na cewce 0,1mV. 53,2Hz, K4, Ag, lusterko, rozbieżność wiązki ok 25 cm na dystansie 3,5m czyli 4° współczynnik załamania szkła: **n = 0,41 +/-0,07**

Współczynnik załamania wynosi ok 0,3 - 0,4

Soczewka wklęsla

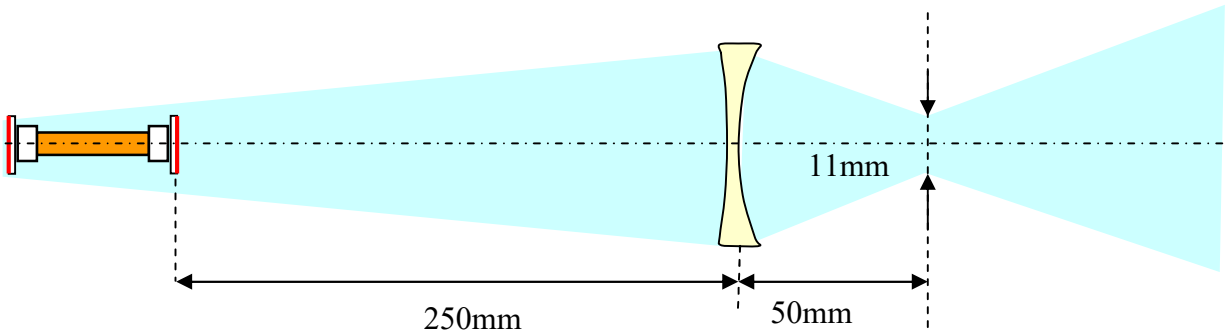

Całkowite zewnętrzne odbicie

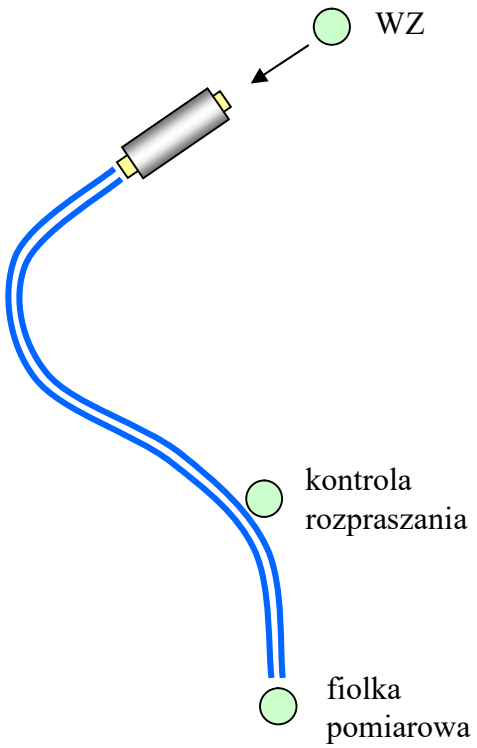

- Rurka 16cm zawierająca czterokrotnie osłabiony Sulfur SC5 K11 - zasięg promieniowania K11 80cm
- Rurka 16cm zawierająca czterokrotnie osłabiony Sulfur SC5 K11 umieszczona na jednym końcu węża silikonowego φ 15/7 długości 1700mm, na wylocie - zasięg promieniowania K11 60cm

Wzorzec Sulfur SC16 K10, akcelerator 1cm/10cm dwuwymiarowy w magnesie.

- kopia na buteleczkę 10ml, 160V, 4ms - K10 160cm
- kopia przez wąż silikonowy φ 15/7 długości 1700mm - K10 90cm, kontrola rozpraszania K10 0cm

Całkowite zewnętrzne odbicie

Zasięg promieniowania z rurki - K11 200cm, szybka szklana

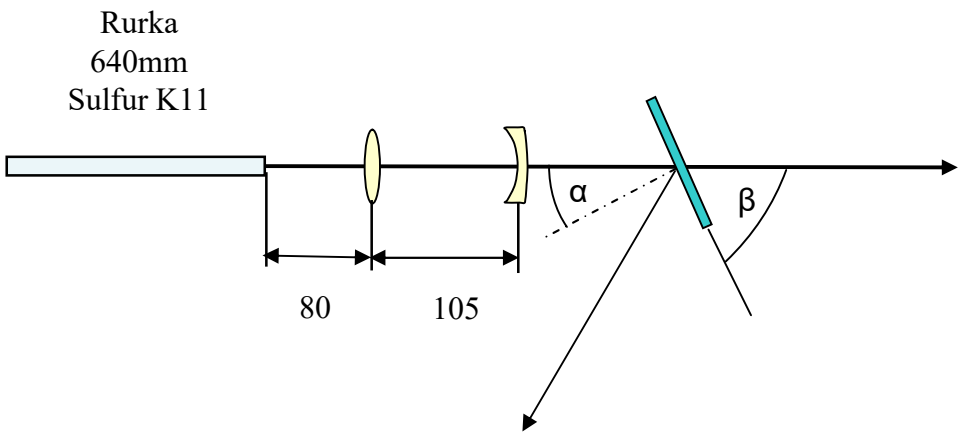

Szkło

kąt α	zasięg prostoliniowy K11
	[cm]
17	120
21	100
25	60
29	0

W przypadku szkła całkowite wewnętrzne odbicie występuje dla 29º.

Zmiana polaryzacji chiralnej poprzez odbicie w zwierciadle

Analogicznie jak w przypadku światła światła spolaryzowanego kołowo, ale trzeba dokonać odbicia w zakresie kąta całkowitego zewnętrznego odbicia.

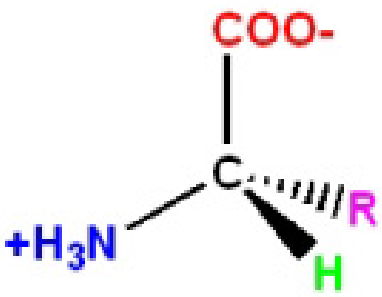

L-Amino acid

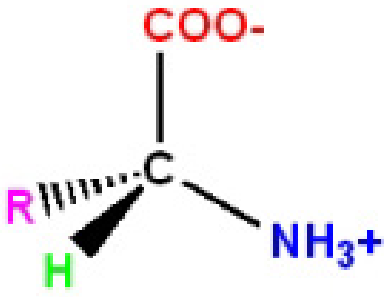

D-Amino acid

Dyfrakcja

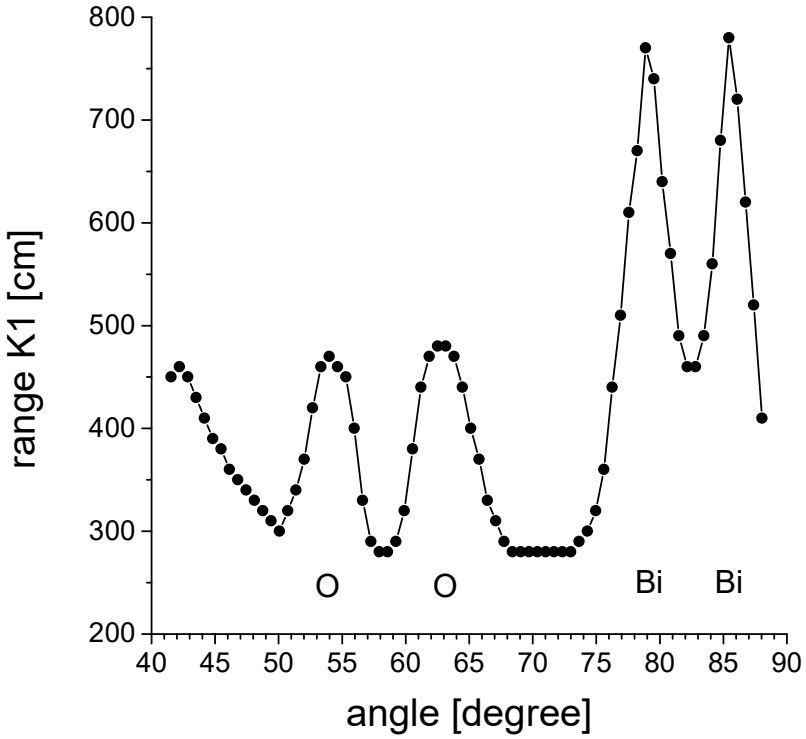

Rys 4. Spektrum informacji przeniesionej akceleratorem z bizmutu na fiolkę zawierającą 10ml wody, rozdzielane z użyciem spektroskopu ze szczeliną powietrzną 0,5mm. Oś odciętych - kąt wiązki padającej względem płaszczyzny łamiącej mierzony w stopniach, oś rzędnych - zasięg promieniowania Kategorii K1 z próbek na wyjściu spektroskopu mierzony w centymetrach.

Poszczególne pierwiastki promieniują w typowych warunkach pole torsyjne o długości fali rzędu 2mm. W związku z tym można było spodziewać się obecności dyfrakcji na szczelinie. We wcześniejszych konstrukcjach spektroskopu pól torsyjnych ze szczelinami powietrznymi kolimatorów szerokości 0,5mm występowałą ona w postaci nietypowej dla znanej nam postaci dyfrakcji występującej w przypadku światła. Tutaj dla całego zakresu pierwiastków od wodoru do uranu występował dublet. Widać to na wykresie rys. 4, gdzie pokazano spektrum bizmutu, w przypadku którego ze względu na jego pokrywanie się na zewnątrz tlenkiem widać też dublet od tlenu.

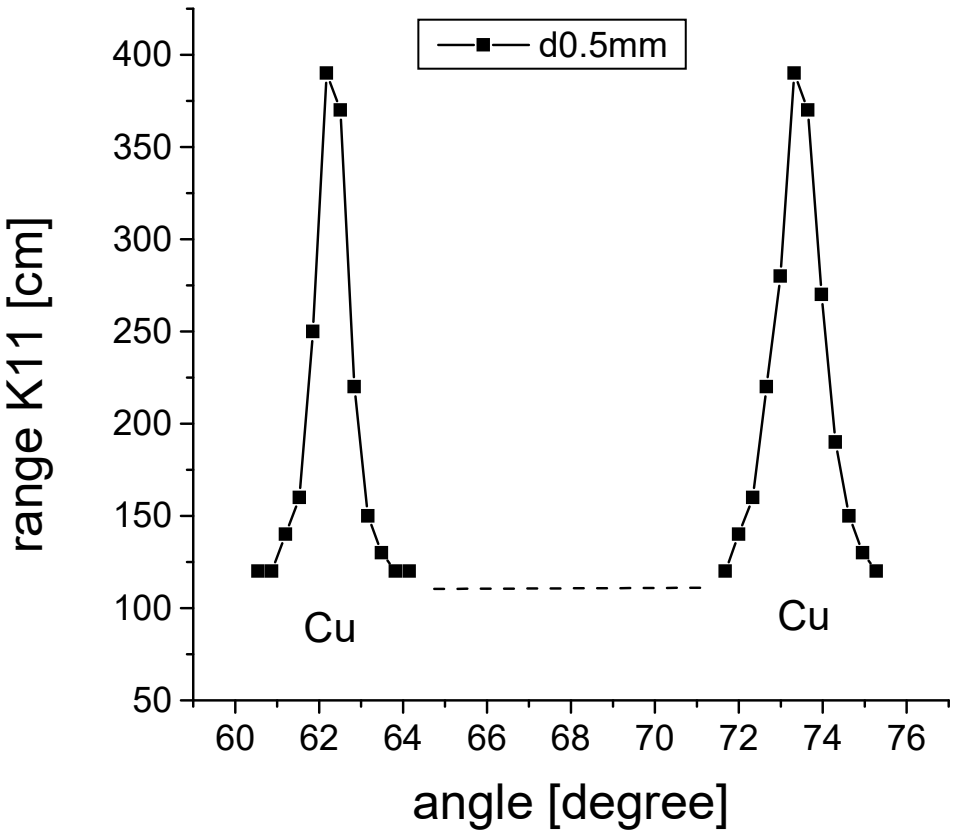

Rys. 5. Spektrum informacji przeniesionej akceleratorem z miedzi na fiolkę zawierającą 10ml wody rozdzielane z użyciem spektroskopu ze szczeliną powietrzną 0,5mm. Oś odciętych - kąt, oś rzędnych - zasięg promieniowania Kategorii K11, analogicznie jak na poprzednim wykresie.

Jednak rozszerzenie szczeliny pierwszego kolimatora do 1mm i 2mm pokazuje, że wówczas dwa piki zbliżają się i zlewają w jeden (rys. 6). A więc mamy tu do czynienia z dyfrakcją i jednocześnie sytuacją, w której szerokość piku przy szczelinie mającej co najmniej dwa milimetry jest nieakceptowalna.

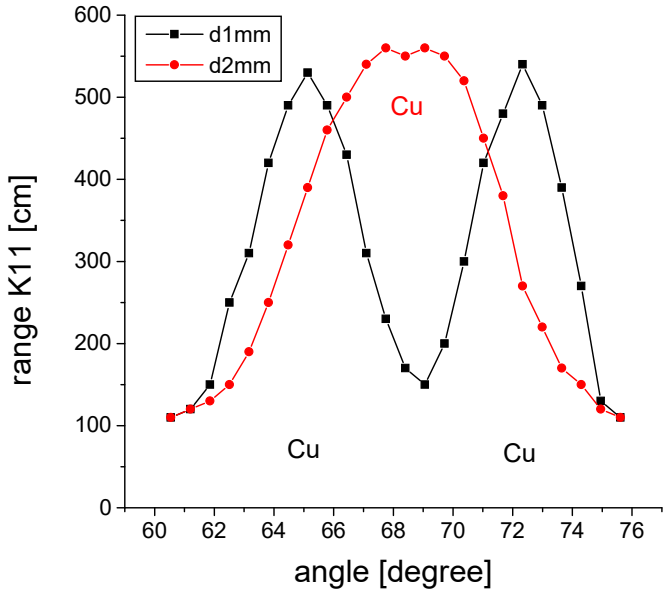

Rys. 6. Spektrum informacji przeniesionej akceleratorem z miedzi na fiolkę zawierającą 10ml wody rozdzielane z użyciem spektroskopu ze szczeliną powietrzną 1mm - czarne kwadraty lub 2mm - czerwone kółka. (Spektroskop nie był tutaj równie dobrze wyjustowany jak na poprzednim rysunku ze względu na dokonane pewne zmiany konstrukcji akceleratora). Oś odciętych - kąt, oś rzędnych - zasięg promieniowania Kategorii K11

Interferencja

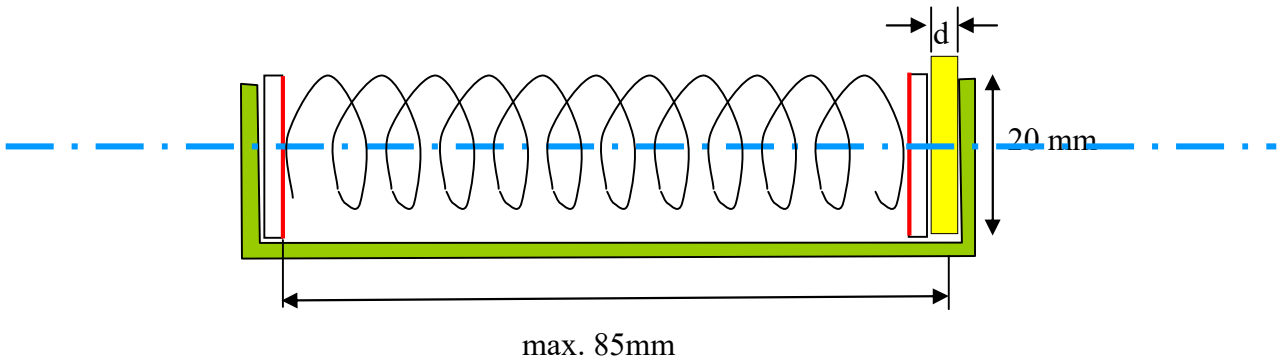

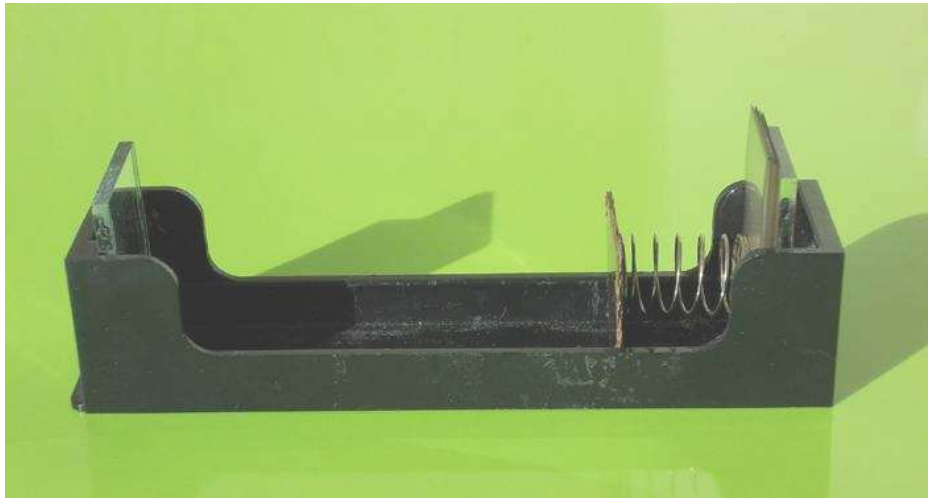

Cząstki pola torsyjnego wykazują prawie wszystkie właściwości optyczne znane dla fal świetlnych i elektronów. Z wyjątkiem tych gdzie następuje zmiana energii.
Cząstki pola torsyjnego nie przenoszą ładunku, nie wykazują oddziaływań elektromagnetycznych.

To pole torsyjne odpowiedzialne jest za zjawiska optyczne, a nie pole elektromagnetyczne

- Nie ma dobrego opisu właściwości dielektrycznych materiału
- Nie wiadomo jakie właściwości materiału sczeliny decydują o dyfrakcji

Sprawdźmy jeszcze dwa zjawiska optyczne, czy występują dla cząstek pola torsyjnego.

Tunelowanie optyczne

Efekt tunelowy typu optycznego

Laserek podłączony do cewki światłowodowej, wewnątrz tuleja miedziana lakierowana, bez preparatu homeopatycznego. Laser włączany na 20s. Tuleja wyjmowana z cewki i wkładana do tulei na 8s fiolka z 9ml wody. Zasięg K5 270cm, pozostałe 200cm. Po dotknięciu bokiem tulei do blachy mosiężnej 6x170x170, cząstki pola torsyjnego powoli wyciekają z tulei.

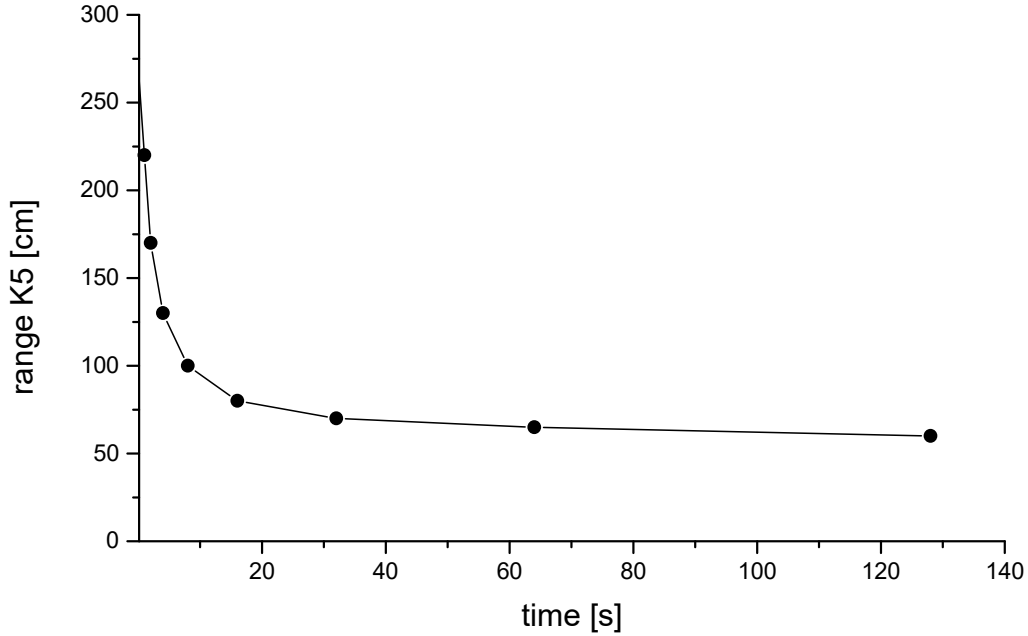

czas kontaktu tulei z blachą.

Akcja laserowa

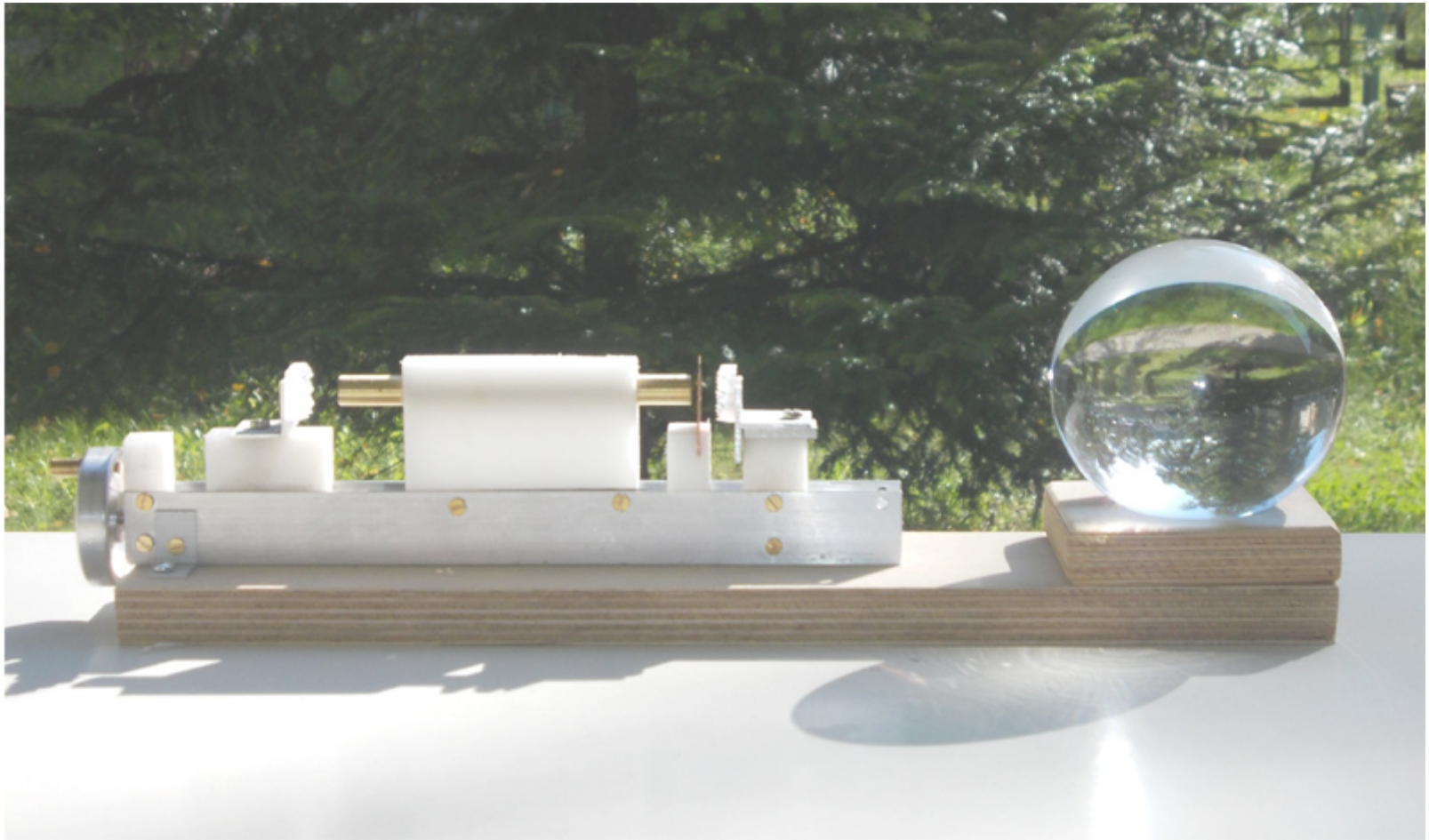

Laser oparty na cząstach pola torsyjnego

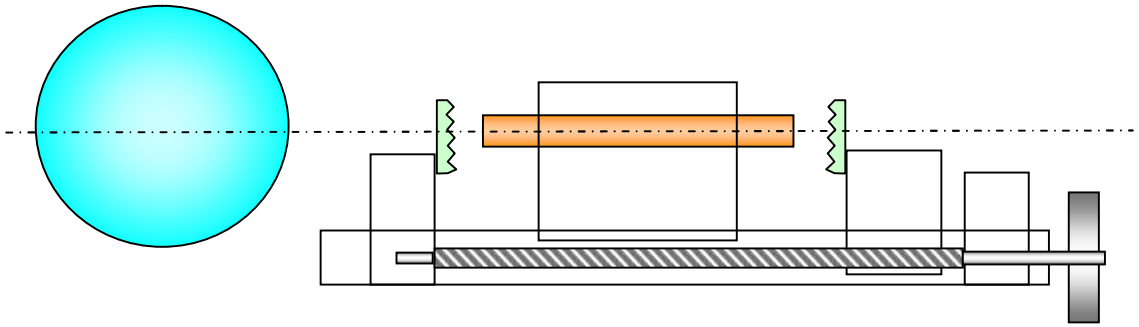

Laser z lusterkami odblaskowymi Omron pręt mosiężny φ8 x 90
Wzorzec Sn 300 x0,5x1,4 na pręt CuZn
promieniowanie z pręta K10 210cm

- zasięg lasera po ustawieniu rezonansu z kulą K10 2890 cm - **wzmocnienie rezonansowe 13,76 x**

Pomiar rozbieżności wiązki

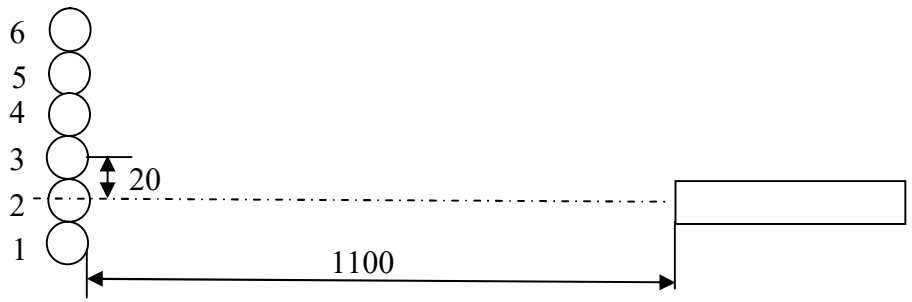

Pręt mosiężny poza lustrami

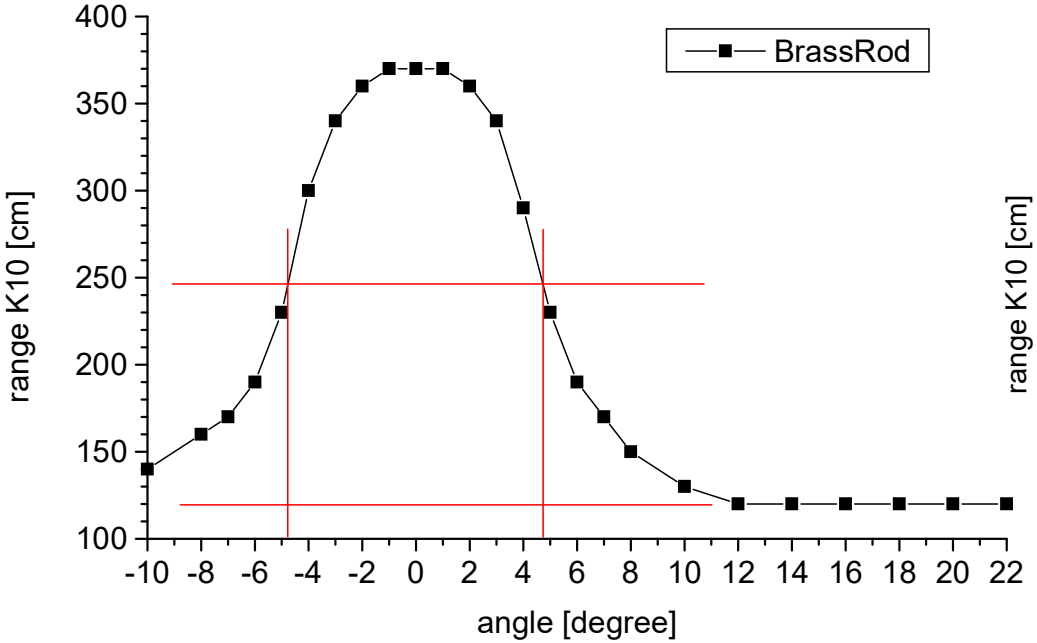

Laser

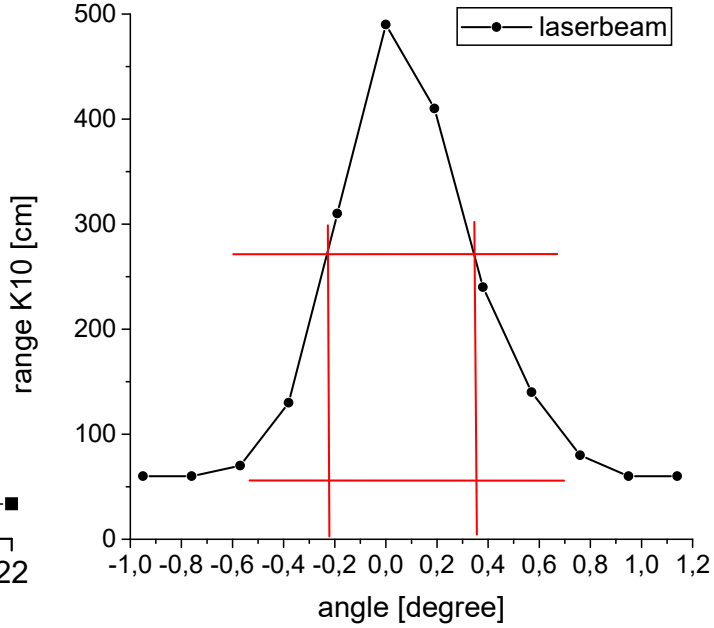

Szerokość połówkowa wiązki = 9,5º

Szerokość połówkowa wiązki = 0,57º

Parametry lasera

	zasięg lasera K10	długość fali	szerokość połówkowa wiązki
	[m]	[mm]	[º]
bez lustra	2,1	0,144	9,5
w rezonansie	28,9	1,98	0,57
stosunek parametrów	13,76	13,75	16,6

Spektrum lasera cząstek pól torsyjnych

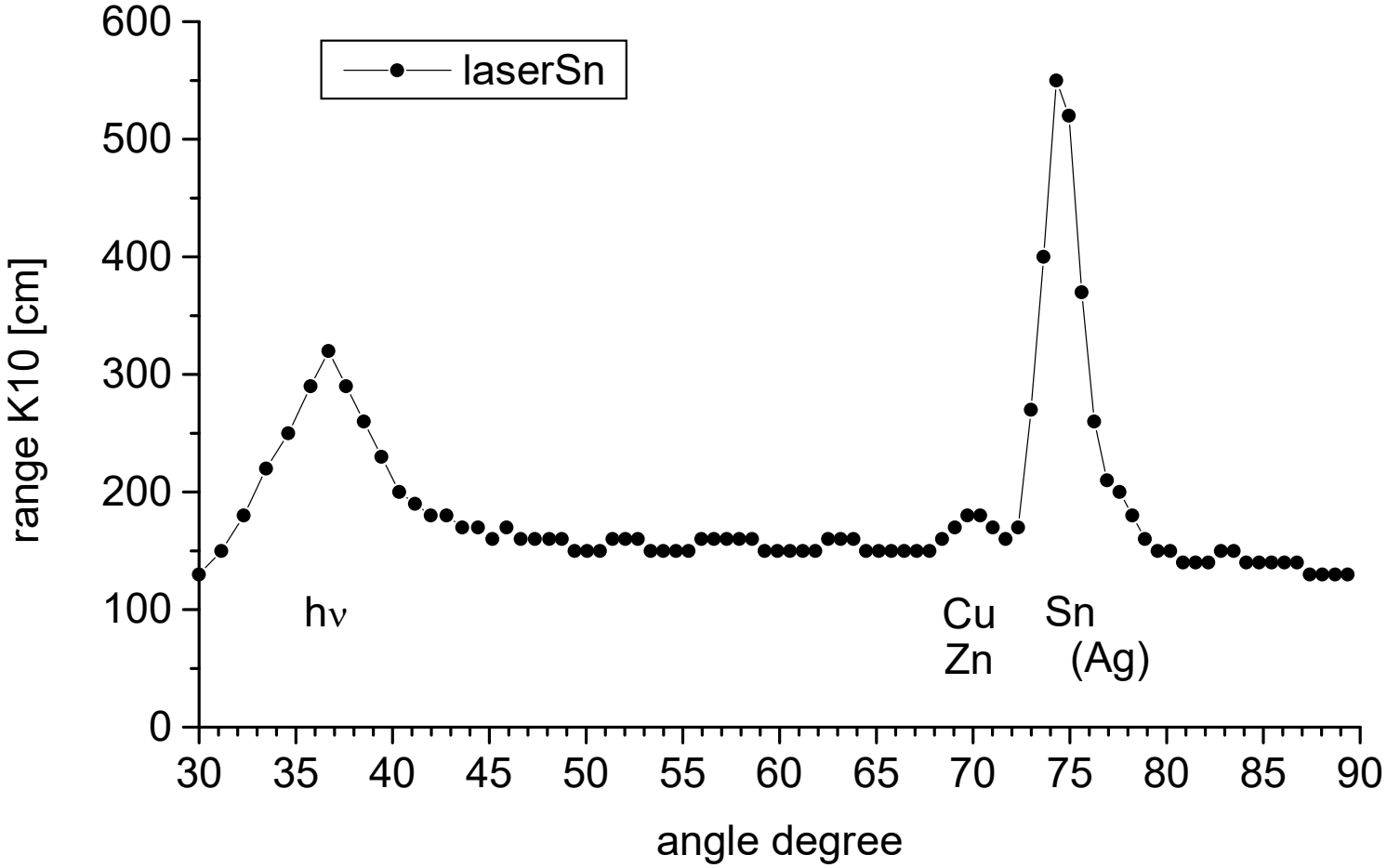

Fotony

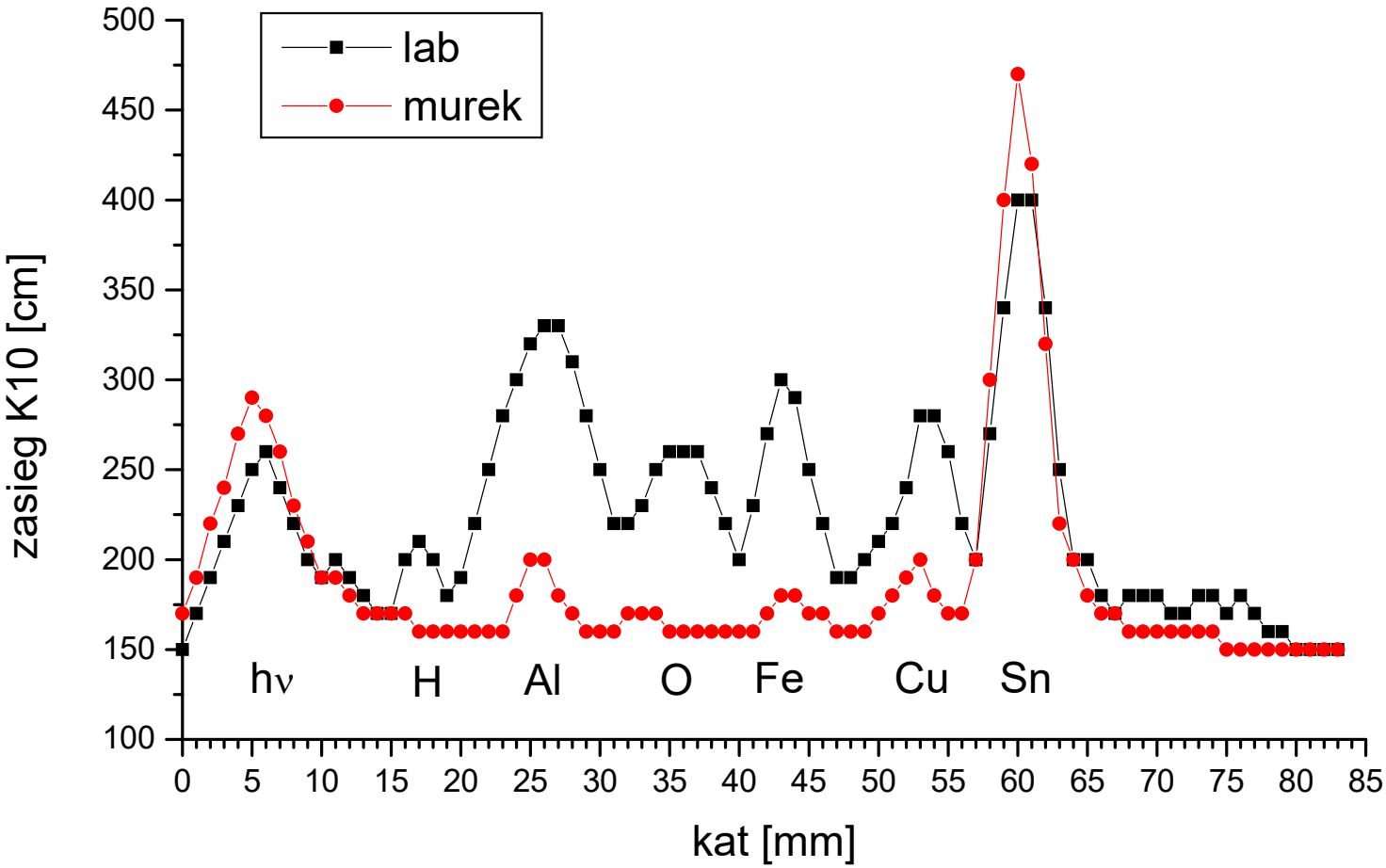
lab
murek
zasieg K10 [cm]
kat [mm]
hν
H
Al
O
Fe
Cu
Sn
500
450
400
350
300
250
200
150
100
0
5
10
15
20
25
30
35
40
45
50
55
60
65
70
75
80
85

Przyciąganie rezonansowe

1. Jak to się dzieje, że bardzo mała liczba cząstek pola torsyjnego jest odbierana przez malutkie receptory nie posiadające anten i oddalone od siebie przestrzennie?
2. Niektóre enzymy wykonują więcej obrotów niż wynikałoby to z prawdpodobieństwa trafienia w nie substratem? Przykładem jest katalaza zawierająca pierścień porfirynowy z żelazem.
- Być może występuje przyciąganie substancji wchodzących w rezonans.

Przyciąganie rezonansowe

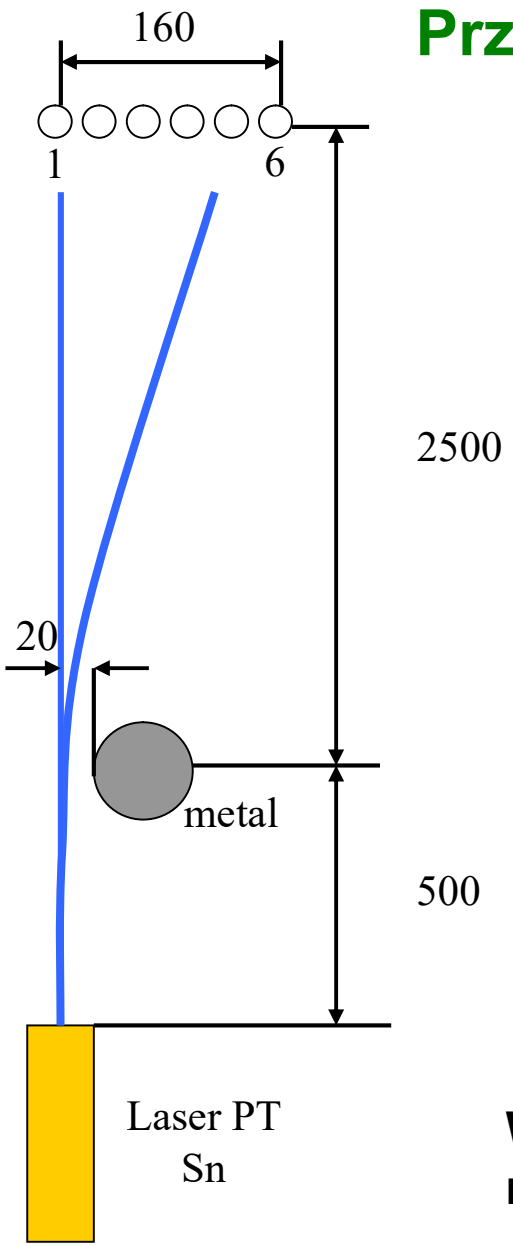

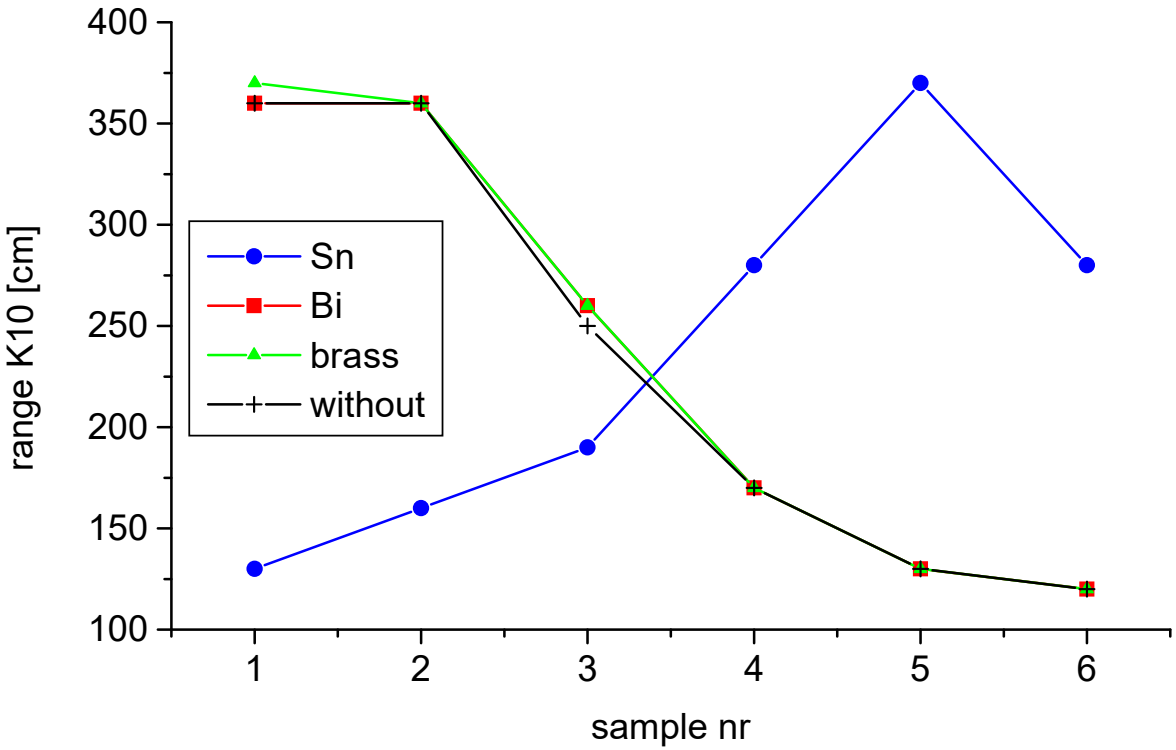

Wiązka z informacją cyny jest przyciągana do cyny metalicznej, a nie jest przyciągana do innych metali